

26: 43

Universidad Nacional Autónoma de México

FACULTAD DE INGENIERÍA

**"UN METODO PARA LA DETERMINACION
DE LAS CONSTANTES DE UN ACUIFERO
EN EL CASO DE UN CONJUNTO DE
POZOS Y UN MODELO"**

T E S I S

Que para obtener el título de
I N G E N I E R O C I V I L
P r e s e n t a

FRANCISCO CORREA NIETO



Universidad Nacional
Autónoma de México



UNAM – Dirección General de Bibliotecas
Tesis Digitales
Restricciones de uso

DERECHOS RESERVADOS ©
PROHIBIDA SU REPRODUCCIÓN TOTAL O PARCIAL

Todo el material contenido en esta tesis esta protegido por la Ley Federal del Derecho de Autor (LFDA) de los Estados Unidos Mexicanos (México).

El uso de imágenes, fragmentos de videos, y demás material que sea objeto de protección de los derechos de autor, será exclusivamente para fines educativos e informativos y deberá citar la fuente donde la obtuvo mencionando el autor o autores. Cualquier uso distinto como el lucro, reproducción, edición o modificación, será perseguido y sancionado por el respectivo titular de los Derechos de Autor.

PROGRAMA

UN METODO PARA LA DETERMINACION DE LAS CONSTANTES DE UN ACUIFERO EN EL CASO DE UN CONJUNTO DE POZOS Y MODELO

	PAGINA
I. ANTECEDENTES	1
a) Generalidades	1
b) Régimen establecido	7
1. Flujo no confinado	7
2. Flujo confinado	10
II. REGIMEN INESTABLE DE ESCURRIMIENTO EN UN MEDIO CAPILAR RADIAL	12
a) Antecedentes	12
b) Desarrollo a partir de la ecuación de pozos	16
c) Revisión del número de Euler	27
III. METODO PARA LA DETERMINACION DE LAS CONSTANTES DE UN ACUIFERO EN EL CASO DE UN CONJUNTO DE POZOS (METODO DE SUPERPOSICION)	34
a) Expresión de Jacob	34
b) Desarrollo de la fórmula	34
c) Ejemplo de principio de superposición	38
d) Método de las recuperaciones	42
IV. ALGUNOS OTROS METODOS PARA OBTENER T Y S	48
a) Método de superposición de curvas	48
b) Método de Jacob	55

PAGINA

V. MODELO PARA UN CONJUNTO DE POZOS	59
VI. EJEMPLO NUMERICO	64
VII. PROGRAMA PARA ENCONTRAR LOS ABATIMIENTOS EN UN CAMPO DE POZOS	73
VIII. CONCLUSIONES	84
a) Comentarios	86
IX. BIBLIOGRAFIA	89

I. ANTECEDENTES

a) GENERALIDADES

En la naturaleza solo hay dos fuentes de agua a disposición -- del hombre, a saber: Las de la superficie, que comprenden los lagos, ríos, y áreas de drenaje que envían agua hacia los embalses así como los procedimientos que permiten captar y retener el agua de lluvia. Y las subterráneas, que incluyen a los pozos, manantiales y galerías horizontales.

En realidad las fuentes de agua subterránea y las superficiales no siempre están separadas. Lo que en cierto lugar es agua de superficie puede convertirse en agua subterránea en otro, pudiendo a su vez emerger de nuevo como agua superficial en un tercer sitio. Esto es posible por interconexiones hidráulicas existentes.

Siempre ha sido más fácil comprender las fuentes de superficie, puesto que se les puede ver y observar.

Es alrededor del agua subterránea que se ha creado una aureola de misterio, de superstición y teorías infundadas, que todavía persisten, más que nada porque no se ha dispuesto-

de maneras rapidas de comprobarlas.

Indudablemente que la falta de comprensión de las manifestaciones de agua subterránea puede atribuirse a que los antiguos científicos y filósofos, no tenían idea de dónde provenía y hacia donde se dirigía ésta. A falta de estos conocimientos ellos y sus contemporaneos tuvieron que desarrollar -- teorías sin comprobación muchas de éstas erróneas, para poder explicar la procedencia del agua en los pozos y el flujo de -- los manantiales.

Una creencia era la de que el agua de mar se convertía en agua dulce conforme ésta fluía desde el mar a los manantiales por dentro de las cavernas subterráneas. Cuando un pozo excavado lograba con éxito producir agua, el fenómeno se explicaba diciendo que éste había interceptado una de las corrientes subterráneas de agua desalada.

El progreso logrado desde entonces en cuanto a la ampliación de nuestros conocimientos sobre el agua subterránea ha sido inmenso, hemos logrado por ejemplo, una mejor comprensión de la importancia que tiene el agua subterránea como fuente de abastecimiento de las necesidades del mundo.

Las aguas naturales existentes en la superficie del suelo estan sometidas al peso de la gravedad. Se infiltran --

pués, por los poros, pequeñas fisuras y todas las soluciones de continuidad, con tal que abunden en el suelo y las rocas subyacentes por muy profundo que puedan descender. Así a partir de una cierta profundidad todos los intersticios entre las rocas acaban por llenarse de agua, el nivel asciende en razón de las infiltraciones, mientras que encima al contrario están normalmente vacíos.

De ello resulta que las aguas continentales no se encuentran libres fuera de los ríos y de los lagos, debe existir pues una profundidad suficiente para que las infiltraciones se acumulen. El agua subterránea es en definitiva y geológicamente hablando, la roca más común y su presencia es prácticamente universal.

Las aguas subterráneas precisamente por su frecuente uso continúan siendo poco conocidas.

Como existen por doquier, las captaciones se construyen en general, siguiendo normas muy alejadas de la realidad pero a pesar de ello resultan muchas veces productivas lo que ayuda a confirmar como buenas, concepciones erróneas. Sin embargo resulta evidente que las captaciones ejecutadas siguiendo normas científicas serán mucho más ventajosas.

En realidad antes de ser captadas las aguas conteni

das en los poros y fisuras del subsuelo no aportan más que un recurso latente. La única manera pragmática de estudiarlas, - consiste en profundizar pozos o sondeos y aprovecharse de las - observaciones que permiten efectuar.

En la práctica para las captaciones se precisa de - dos tareas diferentes, primera . - detección o localización - de los mejores terrenos acuíferos, segunda .- ejecución de las obras conducentes a la extracción del agua contenida en los - acuíferos.

Puesto que las aguas superficiales son tangibles, resulta lo más natural que nos inclinemos a pensar que esta manifestación del agua constituye la mayor fuente para satisfacer las necesidades del mundo.

En realidad algo menos de un 3% de la disponibilidad del agua fluida de nuestro planeta corresponde a ríos y lagos. El 97% restante, algo así como 1230Km³ de agua, se encuentra en el subsuelo.

El agua dulce en estado líquido de lagos y ríos representa la parte que se haya en tránsito, en tanto que las - fuentes subterráneas constituyen el agua almacenada. El agua - subterránea se ha venido acumulando a través de varios si - glos, aumentando ligeramente su volumen cada año por efecto -

de la lluvia. Como promedio anual, el agua de los ríos es restituida unas 31 veces.

Más aún, no toda la cantidad de agua que se encuentra por debajo de la superficie de la tierra, puede extraerse de las formaciones que las contienen. Una parte se halla dentro de formaciones tan profundas que sólo los costos de bombeo invalidarían su extracción.

Otra parte yace dentro de acuíferos que se oponen de diversas maneras a la extracción y desafían la acción del bombeo.

La seguridad higiénica del agua subterránea es también efímera. El agua que proviene de los pasajes de solución en las calizas y formaciones geológicas relacionadas, o de un área de captación poluida cercana a las obras de extracción del agua subterránea, debe verse con sospecha. Las arenas y otros suelos de grano fino o de rocas, pueden ayudar a remover contaminantes y poluyentes de aguas percolantes; siempre que estas sean forzadas a desplazarse a través de espesores razonables de estructuras geológicas de esta clase. Sin embargo existen contaminantes (Nitratos, Cloruros y Fluoruros de alta concentración) que no se remueven ni por los mejores suelos o rocas.

Un suelo puede ofrecer un suministro más puro, económico y satisfactorio de agua del que puede abastecer la superficie de la tierra. Si se conservan las aguas disponibles y - si es necesario se suplementan con una recarga adecuada, procedente de recursos superficiales puede servir bien y por extensos períodos. Si no se administran con cuidado y atención fallarán en cantidad y se deteriorarán en calidad. En algunos lugares tendrá que ser abandonada.

Un aprovechamiento sobrebombeado fallará, no importa donde se encuentre situado y un consumo en exceso cercano al mar permitirá que se introduzca agua salada hacia el acuífero sujeto a bombeo en exceso.

Aunque las cifras comparativas de los volúmenes de agua disponible tanto en la superficie como en el subsuelo no pueden adaptarse como un índice de los recursos reales, si nos revelan que la reserva subterránea es varias veces mayor que la de la superficie y que no se ha hecho suficiente incapié en el desarrollo y utilización de las vastas reservas de agua dulce que yacen bajo la superficie de la tierra; es por esto que deseando contribuir a su desarrollo y darle mayor difusión al estudio de las aguas subterráneas, presento este modesto trabajo.

b) REGIMEN ESTABLECIDO

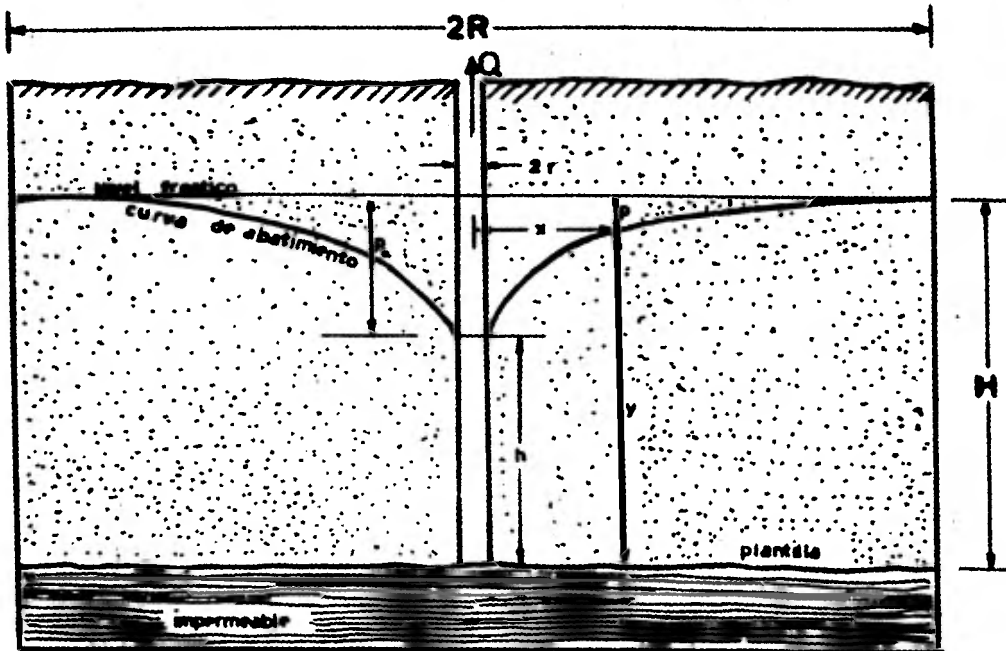
El movimiento de agua subterránea hacia un pozo puede formularse de acuerdo a los principios de Dupuit y Forcheimeir. Cuando el pozo penetra al fondo del acuífero, el flujo es estable y el nivel freático o la superficie piezométrica, según sea el caso, es horizontal. En realidad el nivel freático o la superficie piezométrica raramente son horizontales y el flujo es estable en contadas ocasiones. Los cambios interfieren en las relaciones de bombeo y recarga; y las cantidades de agua almacenada en el acuífero.

Sin embargo la utilidad de la formulación de Dupuit - puede aumentarse introduciendo la teoría de flujo potencial, - para cubrir acuíferos confinados en los que la superficie piezométrica esta inclinada. La teoría de flujo estable ha sido también ampliada a lechos confinantes que tienen fugas y otras situaciones.

1. REGIMEN ESTABLECIDO NO CONFINADO

Para flujo radial, desde un límite externo concéntrico, la descarga a través de cualquier superficie cilíndrica de radio 'x' y altura 'y' es:

$$Q = 2 \pi K x y (dy / dx)$$



Pozo de nivel freático en un depósito de
aguas subterráneas

En donde 'Q' es la relación de flujo al interior del pozo y 'x' e 'y' son las coordenadas de cualquier punto sobre el cono de presión de Dupuit o curva de abatimiento. Las variables componentes son $2\pi xy$, el área a través de la cual el flujo tiene lugar y $K(dy/dx)$ la velocidad.

Por integración:

$$Q \ln x = \pi K y^2 + c$$

Y para $y = h$, a $x = r$ (siendo r el radio del pozo) e $y = H$ a $x = R$ (siendo R el radio del círculo de influencia o distancia del límite externo al centro del pozo).

$$Q = \frac{\pi K (H^2 - h^2)}{\ln (R/r)}$$

$$Q = \frac{1.36 K (H^2 - h^2)}{\log (R/r)}$$

Debido a que H es constante, la cantidad $(H^2 - h^2)$ aumenta a una velocidad decreciente conforme h se reduce. En esta forma los aumentos sucesivos en el abatimiento reducen la capacidad específica de los pozos de nivel freático. Para un valor constante de R , la relación logarítmica entre el radio del círculo de influencia, y el radio del pozo y su relación inversa al rendimiento indican que el aumento del tamaño, del pozo no aumenta grandemente su rendimiento. Por ejemplo - un pozo de 60 cm. dará solamente de 15% a 30% más agua que un pozo de 7.6 cm.

2. REGIMEN ESTABLECIDO CON FLUJO CONFINADO

Para las condiciones ilustradas en la figura correspondiente, donde m es espesor del acuífero.

$$Q = 2 \pi K x m (dy/dx)$$

Integrando entre límites $x = r$ para $y = h$ y $x = R$ para $y = H$

$$Q = \frac{2 \pi K m (H-h)}{\ln (R/r)}$$

$$Q = \frac{2 \pi K m p_0}{\ln (R/r)}$$

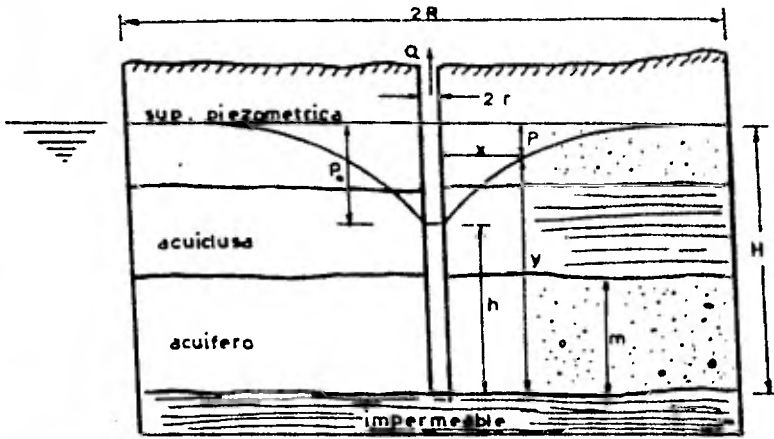
Se advierte que la descarga es proporcional al abatimiento $H - h = p_0$. Se ha observado que el rendimiento por unidad de abatimiento, o capacidad específica, de pozos artesianos, permanece constante a todos los valores razonables del abatimiento.

La ecuación anterior puede reescribirse así:

$$p_0 = \frac{Q \ln (R/r)}{2 \pi K m}$$

Si $T = K m$ es la transmisibilidad en lpd por metro de anchura del acuífero, Q esta en lpm y $2 \ln(R/r) = F(u)$, la ecuación anterior se convierte en: $p_0 = (1/4\pi)(Q/T) F(u)$

En esta forma, la fórmula para el flujo estable puede compararse con las formulaciones para flujo inestable.



Pozo artesiado con flujo radial estable desde un límite circular concéntrico.

II. REGIMEN INESTABLE DE ESCURRIMIENTO EN UN MEDIO CAPITAL RADIAL

a) ANTECEDENTES .

Antiguamente se usaba el método de régimen establecido pero los resultados eran aparentes, ya que el abatimiento seguía aumentando aún a gasto constante de extracción. Ello indica que la realidad constituye un sistema que no está en equilibrio y por lo tanto constituye un sistema dependiente del tiempo.

En las fórmulas de régimen establecido no se toma en cuenta el tiempo de bombeo y es necesario esperar a que los niveles en los pozos de observación se hayan estabilizado, por lo que el uso de las fórmulas de régimen inestable constituyó un avance notable en el campo de la hidráulica de aguas subterráneas.

Esta fórmula de régimen inestable o de no equilibrio fué desarrollada por Theis en 1935. La fórmula de Theis fué la primera que tomó en cuenta el efecto del tiempo de bombeo en la descarga.

Haciendo uso de la fórmula de Theis se puede predecir el abatimiento a cualquier tiempo de bombeo. La Transmisibilidad y la permeabilidad medias se pueden obtener desde las primeras etapas de una prueba de bombeo, sin tener que esperar a que los niveles en los pozos de observación se haya estabilizado.

Los coeficientes de acuífero se pueden determinar a partir de las mediciones tiempo - abatimiento, realizadas en un solo pozo, en vez de utilizar dos pozos de observación, como lo exigiría en el caso del uso de las fórmulas de régimen establecido,

El desarrollo original de la ecuación de Theis se deriva de una analogía con el flujo de calor hacia una depresión o punto en el cual se remueve calor a una velocidad uniforme.

En el presente trabajo se llega a la misma expresión de Theis desarrollando la ecuación de pozos.

La forma mas sencilla de la fórmula de Theis es la siguiente

$$s = \frac{Q}{4 \pi T} W(u)$$

En la cual: s = Abatimiento en metros en cualquier punto de la vecindad de un pozo que se este bombeando a caudal constante.

Q = Gasto de bombeo en $M^3/hr.$

$W(u)$ = Función de pozo que corresponde a la siguiente integral:

$$W(u) = \int_u^{\infty} \frac{e^{-u}}{u} du = -0.5772 - \log_e u + u - \frac{u^2}{2 \cdot 2!} + \frac{u^3}{3 \cdot 3!} - \dots$$

En la anterior expresión.

$$u = \frac{S r^2}{4 T t}$$

En donde: r = Distancia en metros desde el centro del pozo de bombeo, al punto en que se mide el abatimiento.

S = Coeficiente de almacenamiento, adimensional.

T = Coeficiente de transmisibilidad = $K m$ en $M^3/hr./m.$

t = Tiempo transcurrido desde que se inicia el bombeo, en horas.

La derivación de la fórmula de Theis esta basada en -
las siguientes suposiciones:

1. El acuífero es homogéneo y permeable en dirección-
vertical y horizontal.
2. La formación del acuífero es de espesor uniforme.
3. El acuífero no recibe ninguna recarga.
4. La formación es de una extensión superficial in-
finita.
5. El pozo de bombeo es totalmente penetrante y reci-
be agua de todo el espesor saturado del acuífero.
6. El agua retirada del almacenamiento es descargada-
instantáneamente al descender la altura de presión.
7. El acuífero es sensiblemente horizontal.
8. Los coeficientes de Transmisibilidad 'T' y de Almacen
amiento 'S' son constantes.

Escencialmente estas suposiciones son las mismas -
que para las formulas de equilibrio, excepto que los niveles -
de agua dentro del cono de depresión no necesitan haberse es-
tabilizado o alcanzado el equilibrio.

b) DESARROLLO A PARTIR DE LA ECUACION DE POZOS

Tenemos: Acuifero confinado

Flujo radial en un medio capilar

Flujo inestable - no equilibrado

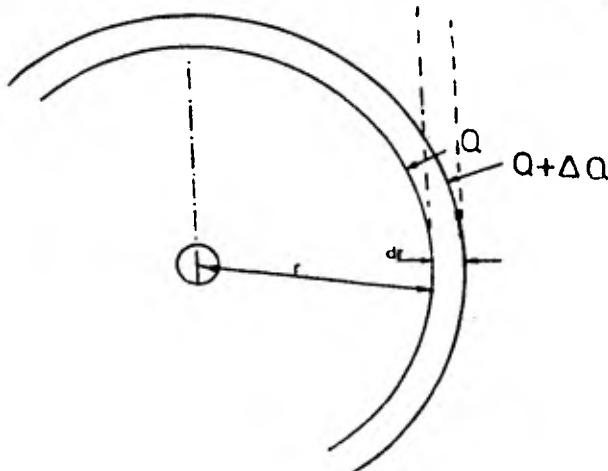
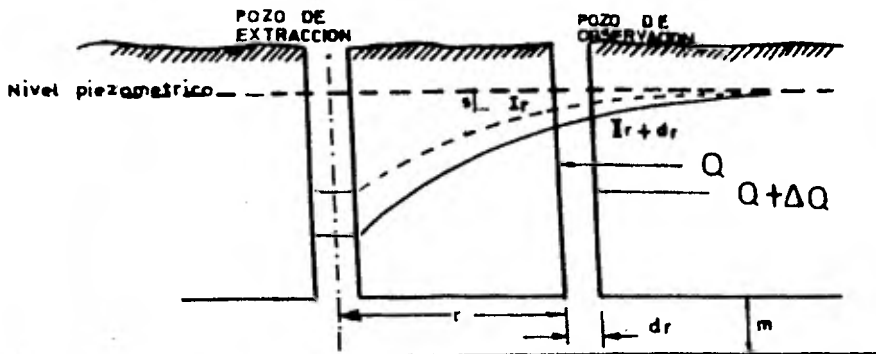
Flujo no estacionario

Fluido compresible

Regimen variado y variable

$$\Delta Q = \frac{I}{r} \frac{\partial s}{\partial r} + \frac{\partial^2 s}{\partial r^2}$$

Ecuación
de pozos



CONDICIONES BASICAS TEORICAS

- 1) Acuífero confinado
- 2) Medio poroso capilar isotropico $v = K \frac{\partial s}{\partial r}$
- 3) Extensión infinita
- 4) Acuífero sensiblemente horizontal
- 5) Acuífero de espesor constante
- 6) El pozo penetra totalmente el acuífero
- 7) El pozo es de diametro infinitesimal
- 8) El agua es compresible y el acuífero es deformable solo en la dirección vertical.

Se usarán coordenadas cilindricas, en donde:

s = Abatimiento

r = Distancia

ϕ = Angulo

t = Tiempo

$$s = F(r, \phi, t)$$

Considerar un instante (que no transcurre el tiempo)

$$s = f(r, \phi); \quad ds = \frac{\partial s}{\partial r} dr + \frac{\partial s}{\partial \phi} d\phi$$

Como el cono es simetrico, el abatimiento 's' es independiente de ϕ . $ds = \frac{\partial s}{\partial r} dr$

Si se considera el cono en movimiento; $s = f(r, t)$

$I_r =$ Gradiente a la distancia r

$$I_r = \frac{\partial s}{\partial r}$$

Derivando respecto a 'r'

$$\frac{dI_r}{dr} = \frac{\partial^2 s}{\partial r^2} \quad ; \quad d I_r = \frac{\partial^2 s}{\partial r^2} dr$$

Aproximación de Taylor

$$I_{r+dr} = I_r + d I_r = \frac{\partial s}{\partial r} + \frac{\partial^2 s}{\partial r^2} dr$$

$$Q_r \neq Q_{r+dr} \quad ; \quad Q_r > Q_{r+dr}$$

Si se escribe $Q_{r+dr} - Q_r$; esa diferencia es negativa y corresponde a un incremento positivo de 'r'

Por esa razón a $\Delta Q = Q_{r+dr} - Q_r$ se le llama incremento negativo de gasto

En un sistema estacionario, $Q_r = Q_{r+dr}$.

Como el sistema en estudio no es estacionario y $Q_r \neq Q_{r+dr}$, ΔQ tiene un valor que hasta ahora no habia sido posible expresar, y para ello es necesario establecer dos nuevos parametros 'S' y 'T'

DESARROLLO AXIOMATICO

S = Coeficiente de Almacenamiento.

Se define como el gasto liberado por un área horizontal unitaria de acuífero, cuando la presión o carga disminuye con rapidez unitaria o cuando el abatimiento disminuye con rapidez unitaria.

$$\text{Unidades de 'S' : } S = \frac{Q/A}{ds/dt} \quad ; \quad \frac{L^3/TL^2}{L T^{-1}} = \frac{L/T}{L/T} = 1$$

parametro adimensional.

T = Coeficiente de Transmisibilidad

Se puede definir como el gasto que pasa a través de un área cilíndrica vertical de acuífero, de altura m, y longitud unitaria cuando el gradiente es unitario.

Si K es el coeficiente de permeabilidad y m es el espesor del acuífero;

$$T = K m$$

Unidades de 'T'

$$T = m K ; LLT^{-1} = L^2 T^{-1} ; \quad m^2/\text{seg}$$

EXPRESIONES PARA Q EN FUNCION DE 'T' Y 'S'

primero en función de T

$$\begin{aligned} \Delta Q &= Q_{r+dr} - Q_r = 2\pi (r+dr) m K I_{r+dr} - 2\pi r m K I_r \\ &= 2\pi (r+dr) T I_{r+dr} - 2\pi r T I_r \end{aligned}$$

ahora en función de S

$$\Delta Q = 2\pi r dr S \frac{\partial S}{\partial t} ; \text{ de la definición de S}$$

Igualando las dos ultimas expresiones.

$$2\pi r dr S \frac{\partial S}{\partial t} = 2\pi T (r + dr) I_{r+dr} - 2\pi r T I_r$$

Dividiendo entre 2π y poniendo los valores de I_{r+dr} y de I_r

$$r dr S \frac{\partial S}{\partial t} = T (r + dr) \left(\frac{\partial S}{\partial r} + \frac{\partial^2 S}{\partial r^2} dr \right) - r T \frac{\partial S}{\partial r}$$

Dividiendo entre $T r dr$

$$\frac{S}{T} \cdot \frac{\partial s}{\partial t} = \frac{r + dr}{r dr} \left(\frac{\partial s}{\partial r} + \frac{\partial^2 s}{\partial r^2} dr \right) - \frac{1}{dr} \frac{\partial s}{\partial r}$$

Efectuando multiplicaciones

$$\begin{aligned} \frac{S}{T} \frac{\partial s}{\partial t} &= \frac{r}{r dr} \frac{\partial s}{\partial r} + \frac{dr}{r dr} \frac{\partial s}{\partial r} + \frac{r}{r dr} \frac{\partial^2 s}{\partial r^2} dr + \frac{dr}{r dr} \frac{\partial^2 s}{\partial r^2} dr - \frac{1}{dr} \frac{\partial s}{\partial r} \\ &= \frac{1}{dr} \frac{\partial s}{\partial r} + \frac{1}{r} \frac{\partial s}{\partial r} + \frac{\partial^2 s}{\partial r^2} + \frac{1}{r} \frac{\partial^2 s}{\partial r^2} dr - \frac{1}{dr} \frac{\partial s}{\partial r} \end{aligned}$$

Despreciando los terminos infinitamente pequeños de orden superior al segundo orden.

$$\boxed{\frac{S}{T} \frac{\partial s}{\partial t} = \frac{1}{r} \frac{\partial s}{\partial r} + \frac{\partial^2 s}{\partial r^2} = \Delta Q}$$

Ecuación diferencial de flujo en un medio poroso, en régimen transitorio.

Para resolver la ecuación anterior conviene multiplicar ambos lados por r^2

$$\frac{S}{T} r^2 \frac{\partial s}{\partial t} = r \frac{\partial s}{\partial r} + r^2 \frac{\partial^2 s}{\partial r^2}$$

La solución inmediata será otra ecuación diferencial.

Debe ser integrable respecto de t

$$\text{si } t = 0 ; \quad s = 0 ; \quad \lim_{r \rightarrow \infty} s = 0$$

Por inspección; la relación que satisface todas estas condiciones es:

$$r \frac{\partial s}{\partial r} = -2c e^{\frac{-r^2 s}{4Tt}}$$

$$\frac{\partial s}{\partial r} = \frac{-2c}{r} e^{\frac{-r^2 s}{4Tt}}$$

Como en la ecuación diferencial hay derivadas respecto de t ($\frac{\partial s}{\partial t}$) y hay segunda derivada parcial respecto de r , para comprobar la relación, primero se derivará respecto de t .

En segundo se integrará respecto de r la misma relación supuesta, y tercero se derivará respecto de r .

Con todo lo cual deberá volverse a la ecuación diferencial.

El primer paso es para obtener una expresión en que aparezca $\frac{d}{dt}$; el tercer paso es para obtener una expresión en que aparezca $\frac{\partial^2 s}{\partial r^2}$, que es la primitiva.

Derivando respecto de t

$$\begin{aligned} \frac{\partial(\partial s / \partial r)}{\partial t} &= -\frac{2c}{r} e^{-\frac{r^2 S}{4Tt}} \left(\frac{r^2 S / 4T}{t^2} \right) \\ &= -\frac{2c}{rt} \frac{r^2 S}{4Tt} e^{-\frac{r^2 S}{4Tt}} \\ &= \frac{c}{t} \left(-\frac{2rS}{4Tt} \right) e^{-\frac{r^2 S}{4Tt}} \end{aligned}$$

Integrando respecto de r

$$\frac{\partial s}{\partial t} = \frac{c}{t} e^{-\frac{r^2 S}{4Tt}}$$

Volviendo a la relación supuesta de integración por inspección y derivando como producto respecto de r.

$$r \frac{\partial s}{\partial r} = -2c e^{-\frac{r^2 S}{4Tt}}$$

$$r \frac{\partial^2 s}{\partial r^2} + \frac{\partial s}{\partial r} = -2c e^{-\frac{r^2 S}{4Tt}} \left(-\frac{2rS}{4Tt} \right)$$

$$r \frac{\partial^2 s}{\partial r^2} + \frac{\partial s}{\partial r} = \frac{c}{t} e^{-\frac{r^2 S}{4Tt}} \frac{rS}{T}$$

Multiplicando por r.

$$r^2 \frac{\partial^2 s}{\partial r^2} + \frac{\partial s}{\partial r} r = \underbrace{\frac{c}{t} e^{\frac{-r^2 S}{4Tt}}}_{\partial s / \partial t} r^2 \frac{S}{T}$$

$$r^2 \frac{\partial^2 s}{\partial r^2} + \frac{\partial s}{\partial r} r = \frac{S}{T} r^2 \frac{\partial s}{\partial t}$$

Que es la ecuación diferencial; y por lo tanto la relación supuesta es correcta, ya que dividiendo entre r^2 , da la ecuación diferencial del incremento negativo del gasto.

LA CONSTANTE C

$$Q_{\text{neto}} = Q_{\text{estacionario}} + \text{Incremento}$$

Recordando que el incremento es negativo. Si lo escribimos como (+) el gasto estacionario es negativo.

$$Q_{\text{neto}} = -2\pi T r \frac{\partial s}{\partial r} + \int_0^r 2\pi r dr S \frac{\partial s}{\partial t}$$

Recordando: $\Delta Q = Q_{r+dr} - Q_r$; $(-Q_r + dr) = -Q_r + \text{Incremento}$

$$(-Q_r + dr) = -Q_r - (-\Delta Q)$$

$$\Delta Q = 2\pi r dr S \frac{\partial s}{\partial t}$$

$$Q_{\text{neto}} = -Qr + (Qr + dr - Qr)$$

Poniendo los valores de $r \frac{\partial s}{\partial r}$ y de $\frac{\partial s}{\partial t}$

$$Q_{\text{neto}} = -2\pi T (-2c e^{\frac{-r^2 S}{4Tt}}) + 2\pi \int_0^r r dr S \frac{c}{t} e^{\frac{-r^2 S}{4Tt}}$$

$$Q_{\text{neto}} = 4\pi T c e^{\frac{-r^2 S}{4Tt}} + \frac{(-)2\pi c(4T)}{2} \int_0^r e^{\frac{-r^2 S}{4Tt}} r dr S \left(\frac{-2}{4Tt}\right)$$

Al tomar limites ya se puede escribir Q_{total} , de extracción

$$Q_T = 4\pi T c e^{\frac{-r^2 S}{4Tt}} - 4\pi T c e^{\frac{-r^2 S}{4Tt}} + 4\pi T c$$

$$Q_T = 4\pi T c : c = \frac{Qt}{4\pi T} \text{ constante}$$

$$\text{Dimensiones de } c : \frac{L^3 T^{-1}}{L^2 T^{-1}} = L$$

El valor del abatimiento s una vez fijo r , (2 pozos)-
se puede escribir ds en lugar de ∂s

$$ds = \frac{c}{t} e^{-\frac{r^2 S}{4Tt}} dt$$

$$\text{si } \frac{r^2 S}{4T} = b ; \quad \frac{r^2 S}{4Tt} = u$$

$$\text{entonces : } \frac{b}{t} = u ; \quad -\frac{b}{t} = -u$$

$$\frac{1}{t} = \frac{u}{b} ; \quad t = \frac{b}{u} ; \quad \frac{dt}{du} = -\frac{b}{u^2} ; \quad dt = -\frac{b}{u^2} du$$

$$\text{si } t = 0 ; \quad u \rightarrow \infty$$

$$\text{si } t = t ; \quad u \rightarrow u$$

$$s = c \int_0^t \frac{1}{t} e^{-u} \left(-\frac{b}{u^2} du \right)$$

$$s = c \int_{\infty}^u \frac{u}{b} e^{-u} \left(\frac{-b}{u^2} du \right) ; \quad s = -c \int_{\infty}^u \frac{e^{-u}}{u} du$$

$$s = c \int_u^{\infty} \frac{e^{-u}}{u} du ; \quad \delta \frac{s}{c} = \int_u^{\infty} \frac{e^{-u}}{u} du$$

Esta es la integral a la que llego Theis y que ahora
hemos llegado a partir de la ecuación de pozos.

c) REVISION DEL NUMERO DE EULER

Mediante este procedimiento hallaremos la solución de la integral impropia : $\frac{\zeta}{c} = \int_u^{\infty} \frac{e^{-u}}{u} du$, a la cual llegamos en el anterior capítulo. La que desarrollaremos en serie de potencias, usando para este fin, el número de Euler.

Se define: $c = 0.5772\dots\dots\dots$

$$c = 1 + \frac{1}{2} + \frac{1}{3} + \frac{1}{4} + \dots + \frac{1}{n} - \ell_n n$$

Se demuestra que la serie es convergente; se puede ver que la serie converge lentamente, y no se sabe si es racional o irracional.

Procederemos a descomponer la serie en dos sumandos:

Primer sumando $1 + \frac{1}{2} + \frac{1}{3} + \dots + \frac{1}{n}$

Segundo sumando $\ell_n n$

Primer sumando

Toda fracción propia puede expresarse mediante una integral impropia.

$$\frac{1}{n} = \int_0^{\infty} e^{-nx} dx; \quad \frac{1}{1} = \int_0^{\infty} e^{-1x} dx; \quad \frac{1}{2} = \int_0^{\infty} e^{-2x} dx; \quad \dots \quad \frac{1}{n} = \int_0^{\infty} e^{-nx} dx$$

De manera que el primer sumando se puede expresar así:

$$\sum_{n=1}^{\infty} \frac{1}{n} = \int_0^{\infty} e^{-1x} dx + \int_0^{\infty} e^{-2x} dx + \dots + \int_0^{\infty} e^{-nx} dx$$

$$\sum_{n=1}^{\infty} \frac{1}{n} = \int_0^{\infty} (e^{-x} + e^{-2x} + \dots + e^{-nx}) dx$$

Lo encerrado en el paréntesis es una serie geométrica de razón $r = e^{-x}$; si $x > 0$ y entero; $r < 1$, en cuyo caso:

$$S_n = \frac{r(1 - r^n)}{1 - r} ; \quad S_n = \frac{e^{-x}(1 - e^{-nx})}{1 - e^{-x}} = \frac{e^{-x} - e^{-nx-x}}{1 - e^{-x}}$$

$$\therefore \int_0^{\infty} \frac{e^{-x} - e^{-nx-x}}{1 - e^{-x}}$$

Es el primer sumando, el cual va hacia valor infinito, pues no es sino la forma de expresar la serie: $1 + \frac{1}{2} + \dots + \frac{1}{n}$ la cual ya se sabe es divergente.

Segundo sumando

En forma semejante, el $\log_e n$ puede expresarse también como una integral impropia, mediante la integral de Frullani:

$$\log_e n = \int_0^{\infty} \frac{e^{-x} - e^{-nx}}{x} dx \quad (1)$$

Agrupando los dos sumandos tenemos:

$$c = \int_0^{\infty} \left(\frac{e^{-x}}{1-e^{-x}} - \frac{e^{-nx-x}}{1-e^{-x}} - \frac{e^{-x}}{x} + \frac{e^{-nx}}{x} \right) dx$$

Multiplicando numerador y denominador del segundo término, por e^x

$$c = \int_0^{\infty} \left(\frac{e^{-x}}{1-e^{-x}} - \frac{e^{-nx}}{e^x-1} - \frac{e^{-x}}{x} + \frac{e^{-nx}}{x} \right) dx$$

Agrupando las fracciones 1a. y 3a. y a la vez 4a. con 2a.

$$c = \int_0^{\infty} \left(\frac{e^{-x}}{1-e^{-x}} - \frac{e^{-x}}{x} \right) dx + \int_0^{\infty} \left(\frac{e^{-nx}}{x} - \frac{e^{-nx}}{e^x-1} \right) dx$$

Se puede demostrar que la última integral es nula.-
(Advanced Calculus, George A. Gibson p 478)

$$c = \int_0^{\infty} \left(\frac{e^{-x}}{1-e^{-x}} - \frac{e^{-x}}{x} \right) dx$$

Sumando y restando $\frac{1}{x(x+1)}$

$$c = \int_0^{\infty} \left(\frac{e^{-x}}{1-e^{-x}} - \frac{e^{-x}}{x} + \frac{1}{x(x+1)} - \frac{1}{x(x+1)} \right) dx$$

Reagrupandolas : 3a. y 2a. ; 1a. y 4a.

$$c = \int_0^{\infty} \left(\frac{1}{x(x+1)} - \frac{e^{-x}}{x} \right) dx + \int_0^{\infty} \left(\frac{e^{-x}}{1-e^{-x}} - \frac{1}{x(x+1)} \right) dx$$

La última integral es nula ; (ver Advanced Calculus; Gibson p 479)

$$c = \int_0^{\infty} \left(\frac{1}{x(x+1)} - \frac{e^{-x}}{x} \right) dx$$

Poniendo límites de integración de 0 a x y de x a ∞

$$c = \int_0^x \left(\frac{dx}{x(x+1)} \right) + \int_x^{\infty} \frac{dx}{x(x+1)} - \int_0^x \frac{e^{-x}}{x} dx - \int_x^{\infty} \frac{e^{-x}}{x} dx$$

Se puede ver que el último término es precisamente la integral impropia que se desea desarrollar en serie de potencias; despejandola:

$$\int_x^{\infty} \frac{e^{-x}}{x} dx = -c + \int_0^x \frac{dx}{x(x+1)} + \int_x^{\infty} \frac{dx}{x(x+1)} - \int_0^x \frac{e^{-x}}{x} dx$$

Descomponiendo el 2o. sumando del miembro de la derecha, en fracciones parciales; además, restando y sumando $\frac{dx}{x}$ al último:

$$\int_x^{\infty} \frac{e^{-x}}{x} dx = -c + \int_0^x \frac{dx}{x} - \int_0^x \frac{dx}{x+1} + \int_0^{\infty} \frac{dx}{x(x+1)} - \int_0^x \frac{e^{-x}-1}{x} dx - \int_0^x \frac{dx}{x}$$

Con lo cual se anulan, el 2o. y el último; quedando:

$$\int_x^{\infty} \frac{e^{-x}}{x} dx = -c - \int_0^x \frac{dx}{x+1} + \int_x^{\infty} \frac{dx}{x(x+1)} - \int_0^x \frac{e^{-x}-1}{x} dx \quad \text{----- (A)}$$

En el miembro de la derecha queda solo una integral -
impropia.

$$\int_x^{\infty} \frac{dx}{x(x+1)} = \int_x^{\infty} \frac{dx}{x^2+x + (1/2)^2 - (1/2)^2}$$

$$= \int_x^{\infty} \frac{dx}{(x + \frac{1}{2})^2 - (\frac{1}{2})^2}$$

Es de la forma

$$\int \frac{du}{u^2 - a^2} = \frac{1}{2a} \ln \frac{u-a}{u+a} + c$$

$$u = x + \frac{1}{2}; \quad a = \frac{1}{2}; \quad du = dx$$

$$\lim_{b \rightarrow \infty} \int_x^b \frac{dx}{(x + 1/2)^2 - (1/2)^2} = \lim_{b \rightarrow \infty} \left[\ln \frac{x}{x+1} \right]_x^b$$

$$= \lim_{b \rightarrow \infty} \left[\ln \frac{b}{b+1} - \ln \frac{x}{x+1} \right]$$

$$\begin{aligned}
 &= \lim_{b \rightarrow \infty} \left[\ln \frac{b}{b+1} \right] - \ln \frac{x}{x+1} \\
 &= \lim_{b \rightarrow \infty} \left[\ln \frac{1}{1} \right] - \ln \frac{x}{x+1} \\
 &= 0 - \ln \frac{x}{x+1} = -\ln x + \ln (x+1)
 \end{aligned}$$

Sustituyendo este valor en (A)

$$\begin{aligned}
 \int_x^\infty \frac{e^{-x}}{x} dx &= -c - \ln(x+1) - \ln x + \ln(x+1) - \int_0^x \frac{e^{-x}-1}{x} dx \\
 &= -c - \ln x - \int_0^x \frac{e^{-x}-1}{x} dx
 \end{aligned}$$

La fracción de la última integral se puede desarrollar en serie, mediante la expresión de Maclaurin.

$$\frac{e^{-x}-1}{x} = -\frac{1}{1!} + \frac{x}{2!} - \frac{x^2}{3!} + \dots$$

$$\begin{aligned}
 \int_x^\infty \frac{e^{-x}}{x} dx &= -c - \ln x - \int_0^x \left(-\frac{1}{1!} + \frac{x}{2!} - \frac{x^2}{3!} + \dots \right) dx \\
 &= -c - \ln x - \left[-x + \frac{x^2}{2 \cdot 2!} - \frac{x^3}{3 \cdot 3!} + \dots \right] \\
 &= -c - \ln x + x - \frac{x^2}{2 \cdot 2!} + \frac{x^3}{3 \cdot 3!}
 \end{aligned}$$

Poniendo u en lugar de x

$$\int_u^{\infty} \frac{e^{-u}}{u} du = -0.5772 - \ln u + u - \frac{u^2}{2 \cdot 2!} + \frac{u^3}{3 \cdot 3!} - \dots$$

Esta es la solución de la integral impropia, a la que llegó también Theis.

III. METODO PARA LA DETERMINACION DE LAS CONSTANTES DE UN ACUIFERO EN EL CASO DE UN CONJUNTO DE POZOS (METODO DE SUPERPOSICION).

a). EXPRESION DE JACOB

$$\text{Tenemos: } s = \frac{Q}{4 \pi T} W(u); \quad u = \frac{S r^2}{4 T t}$$

$$W(u) = \int_u^{\infty} \frac{e^{-u}}{u} du = -0.5772 - L_n u - \frac{u^2}{2 \cdot 2!} + \dots$$

No se comete un error muy grande al eliminar los últimos terminos, siempre y cuando $u < 0.02$ (suposición de Jacob)

Por lo tanto eliminando los últimos terminos nos queda:

$$s = \frac{Q}{4 \pi T} (-0.5772 - L_n u) .$$

b). DESARROLLO DE LA FORMULA

Tomando en cuenta la expresión anterior tenemos que:

$$0.5772 = L_n x ; \text{ y Antilog } 0.5772 = x$$

y por lo tanto:

$$x. = 1.78104 ; \quad \text{de donde } L_n \ 1.78104 = 0.5772$$

y así, sustituyendo y siguiendo el desarrollo algebraico incluido a continuación, tenemos:

$$s = \frac{Q}{4 \pi T} (- L_n \ 1.78104 - L_n \ u)$$

$$s = \frac{Q}{4 \pi T} (- L_n \ u - L_n \ 1.78)$$

$$s = \frac{Q}{4 \pi T} (- L_n \ \frac{s \ r^2}{4 \ T t} - L_n \ 1.78)$$

Usando una de las leyes de los logaritmos, tenemos:

$$- L_n \ \frac{s \ r^2}{4 \ T t} = L_n \ \frac{4 \ T t}{s \ r^2} ; \quad \text{por lo tanto:}$$

$$s = \frac{Q}{4 \pi T} (L_n \ \frac{4 \ T t}{r^2 \ s} - L_n \ 1.78)$$

Aplicando nuevamente logaritmos.

$$s = \frac{Q}{4 \pi T} (L_n \ \frac{4 \ T t / r^2 s}{1.78})$$

$$s = \frac{Q}{4 \pi T} (L_n \ 2.24588 \ \frac{T t}{r^2 s})$$

$$s = \frac{Q}{4 \pi T} \left(L_n 2.24588 \frac{T}{S} - L_n \frac{r^2}{t} \right)$$

$$s = -\frac{Q}{4 \pi T} \left(L_n \frac{r^2}{t} - L_n 2.25 \frac{T}{S} \right)$$

Pasando a logaritmos de base 10 nos queda:

$$s = -\frac{2.3 Q}{4 \pi T} \left(\log \frac{r^2}{t} - \log 2.25 \frac{T}{S} \right)$$

$$\frac{s}{Q} = -\frac{2.3}{4 \pi T} \left(\log \frac{r^2}{t} - \log \frac{2.25 T}{S} \right) \text{----- (A)}$$

Principio de superposición

Tenemos un pozo de observación y dos pozos de extracción, de la siguiente manera:

$$C_1 = \frac{2.3 Q_1}{4 \pi T} ; \quad C_2 = \frac{2.3 Q_2}{4 \pi T}$$

$$s_1 = -C_1 \left(\log \frac{r_1^2}{t_1} - \log 2.25 \frac{T}{S} \right)$$

$$s_2 = -C_2 \left(\log \frac{r_2^2}{t_2} - \log 2.25 \frac{T}{S} \right)$$

$$s_1 + s_2 = -\frac{2.3 Q_1}{4 \pi T} \log \frac{r_1^2}{t_1} - \frac{2.3 Q_2}{4 \pi T} \log \frac{r_2^2}{t_2} + \frac{2.3 Q_1}{4 \pi T} \log 2.25 \frac{T}{S} +$$

$$+ \frac{2.3 Q_2}{4 \pi T} \log 2.25 \frac{T}{S}$$

Dividiendo entre: $Q_1 + Q_2 = Q_t$

$$\frac{s_1 + s_2}{Q_t} = \frac{-2.3 Q_1}{4\pi T Q_t} \log \frac{r_1^2}{t_1} - \frac{2.3 Q_2}{4\pi T Q_t} \log \frac{r_2^2}{t_2} + \frac{2.3 Q_1}{4\pi T Q_t} \log 2.25 \frac{T}{S} + \frac{2.3 Q_2}{4\pi T Q_t} \log 2.25 \frac{T}{S}$$

$$\frac{s_1 + s_2}{Q_t} = - \frac{2.3}{4\pi T} \left(\frac{Q_1}{Q_t} \log \frac{r_1^2}{t_1} + \frac{Q_2}{Q_t} \log \frac{r_2^2}{t_2} \right) + \frac{2.3}{4\pi T} \log 2.25 \frac{T}{S} \times \left(\frac{Q_1}{Q_t} + \frac{Q_2}{Q_t} \right)$$

Generalizando para un pozo de observación y varios de estracción:

$$\frac{\sum s_i}{\sum Q_i} = - \frac{2.3}{4\pi T} \left[\left(\sum_1^n \frac{Q_i}{Q_t} \log \frac{r_i^2}{t_i} - \log 2.25 \frac{T}{S} \underbrace{\left(\frac{\sum Q_i}{Q_t} \right)}_{=1} \right) \right]$$

$$\frac{\sum s_i}{\sum Q_i} = - \frac{2.3}{4\pi T} \left(\sum_1^n \frac{Q_i}{Q_t} \log \frac{r_i^2}{t_i} - \log 2.25 \frac{T}{S} \right) \text{ ----- (B)}$$

Comparando A y B. El abatimiento total en el pozo de observación por unidad de gasto total, es igual a la suma de los productos de las fracciones de los gastos de cada pozo,

(respecto del gasto total) por sus respectivos logaritmos, de los cocientes de los cuadrados de sus distancias a sus tiempos.

Este principio fué comprobado por Cooper y Jacob.

Si se logran dos pruebas con sus s_i se pueden resolver como simultaneas, para obtener "S" y "T".

c) EJEMPLO DEL PRINCIPIO DE SUPERPOSICIÓN

Primeramente encontraremos los coeficientes de Transmisibilidad "T" y Almacenamiento "S", usando el principio de superposición. Después aplicaremos los valores de "T" y "S" y encontraremos el abatimiento de cada pozo, trabajando independientemente y comprobaremos sumando cada uno de los abatimientos, que serán igual al abatimiento del pozo de observación.

Datos:

Se tiene tres pozos de bombeo y uno de observación, con los que haremos dos pruebas.

distancias al pozo de observación:

$$r_1 = 100 \text{ m.}$$

$$r_2 = 150 \text{ m.}$$

$$r_3 = 200 \text{ m.}$$

Primera prueba

$$Q_1 = 40 \text{ lt/s}$$

$$\text{Abat. (pozo obs.)} = 46.00 \text{ m.}$$

$$Q_2 = 60 \text{ lt/s}$$

$$\text{Tiempo} = 15 \text{ días}$$

$$Q_3 = 20 \text{ lt/s}$$

Segunda prueba

$$Q_1 = 50 \text{ lt/s}$$

$$\text{Abatimiento} = 63.74 \text{ m.}$$

$$Q_2 = 75 \text{ lt/s}$$

$$\text{Tiempo} = 20 \text{ días}$$

$$Q_3 = 25 \text{ lt/s}$$

Utilizando la ecuación para un conjunto de pozos.

$$\frac{\sum s_i}{\sum Q_i} = - \frac{2.3}{4\pi T} \left(\sum \frac{Q_i}{Q_t} \log \frac{r_i^2}{t_i} - \log 2.25 \frac{T}{S} \right)$$

Primera prueba

$\frac{Q_i}{Q_t}$	$\log (r_i^2 / t_i)$	$(Q_i / Q_t) \log (r_i^2 / t_i)$
$\frac{40}{120} = \frac{1}{3}$	$\log \frac{100^2}{15 \times 86400} = 2.11261$	- 0.70420
$\frac{1}{2}$	-1.76042	- 0.88021
$\frac{1}{6}$	-1.51055	- 0.25176
		- 1.83617

$$s_i = 46.00 \text{ m. } Q_i = 0.120 \text{ m}^3/\text{s}$$

$$\frac{s_i}{Q_i} = 383.33 = - \frac{2.3}{4\pi T} (-1.83617 - \log 2.25 \frac{T}{S}) \dots (1)$$

Segunda prueba

$\frac{1}{3}$	-2.23754	-0.74584
$\frac{1}{2}$	-1.88536	-0.94268
$\frac{1}{6}$	-1.63548	-0.27258
		-1.96110

$$s_i = 63.74 \text{ m. } ; Q_i = 0.150 \text{ m}^3/\text{s}$$

$$\frac{s_i}{Q_i} = 424.94 = - \frac{2.3}{4\pi T} (-1.9611 - \log 2.25 \frac{T}{S}) \dots (2)$$

Resolviendo simultaneamente las ecuaciones. Restando la ecuación (1) de la (2). tenemos:

$$424.94 - 383.33 = - \frac{2.3}{4\pi T} (-1.9611 + 1.83617)$$

Despejando el valor de "T" tenemos:

$$T = - \frac{2.3}{4\pi \times 41.61} (-0.12493); \quad \underline{\underline{T = 0.00055 \text{ m}^3/\text{s/m.}}$$

Ahora encontraremos el valor de "S" sustituyendo el valor de "T" en la ecuación (1).

$$383.33 = - \frac{2.3}{4\pi \times 5.5 \times 10^{-4}} (-1.83617 - \log 2.25 \frac{5.5 \times 10^{-4}}{S})$$

$$383.33 = - 332.7785 (-1.8361 - \log 2.25 \times 5.5 \times 10^{-4} + \log S)$$

$$\log S = - \frac{383.33}{332.77} + 1.8361 + \log 2.25 \times 5.5 \times 10^{-4}$$

$$S = \text{antilog } 2.225 ;$$

$$\underline{\underline{S = 0.006}}$$

Ya conocidos los valores de "T" y "S" procederemos a comprobar el Principio de Súperposición.

Usando la ecuación (A), y trabajando independientemente:

$$s = - \frac{2.3 Q}{4 \pi T} \left(\log \frac{r^2}{t} - \log \frac{2.25 T}{S} \right)$$

En la primera prueba			Abatimiento en cada pozo (m)
t = 15 días	Para el pozo 1 trab. ind.		$s_1 = 19.00$
	" " 2 "		$+s_2 = 21.46$
	" " 3 "		$s_3 = 5.49$
			<hr/>
			45.95

En la segunda prueba	t = 20 días	Para el pozo No. 1	$s_1 = 25.82$
		Para el pozo No. 2	$+s_2 = 29.95$
		Para el pozo No. 3	$s_3 = 7.90$
			<hr/>
			63.67 m.

Con lo anterior comprobamos el Principio de Superposición ya que:

Para la primera prueba $s_i = 45.95 \text{ m.} \pm 46.00 \text{ m.}$

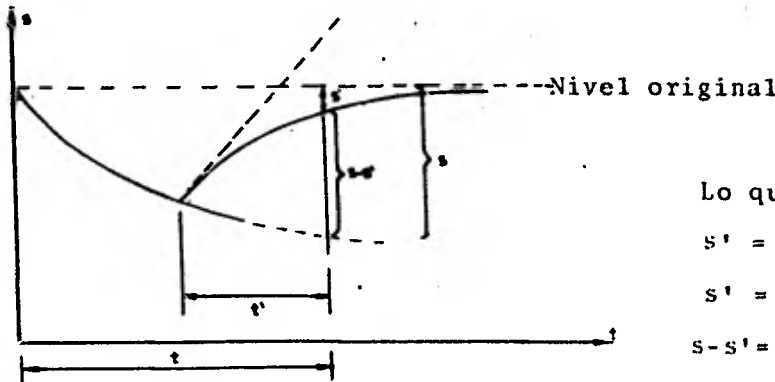
Para la segunda prueba $s_i = 63.67 \text{ m.} \pm 63.74 \text{ m.}$

Con lo anterior demostramos la validez del principio de Superposición.

d) METODO DE RECUPERACIONES

El método para encontrar las constantes de un acuífero en el caso de un conjunto de pozos (Método de superposición)

también es válido para cuando tenemos lecturas de recuperaciones en vez de abatimientos. En realidad este método se desarrolló a partir de la observación de las recuperaciones en un pozo.



Lo que se mide

s' = abat. residual

$s' = s - (s - s')$

$s - s' =$ Recuperación

$$s = c \left(-C - \ln \frac{r^2 S}{4 T t} \right) : \quad s = -c C - c \ln \frac{r^2 S}{4 T t}$$

$$s - s' = c \left(-C - \ln \frac{r^2 S}{4 T t'} \right) : \quad s - s' = -c C - c \ln \frac{r^2 S}{4 T t'}$$

$$s' = -c \ln \frac{r^2 S}{4 T t} + c \ln \frac{r^2 S}{4 T t'}$$

en donde:

$$c = \frac{Q}{4 \pi T} \quad \text{y} \quad \text{haciendo operaciones}$$

$$C = 0.5772 \quad s' = c \ln \frac{r^2 S}{4 T t'} - c \ln \frac{r^2 S}{4 T t}$$

usando logaritmos:

$$s' = c \ln \frac{t}{t'} ; \quad \text{sustituyendo el valor de } c$$

$$s' = \frac{Q}{4 \pi T} \ln \frac{t}{t'}$$

Graficando los valores de s' (abatimientos residuales) en escala aritmética, contra valores de $\frac{t}{t'}$, en escala logarítmica, se puede obtener T :

para dos puntos tenemos: s'_1 , t'_1 y s'_2 , t'_2

$$T = \frac{Q}{4\pi(s'_2 - s'_1)} \quad 2.3 \log \frac{t'_1}{t'_2}$$

recondando $s - s' = c \left(-C - \text{Ln} \frac{r^2}{4T} \frac{S}{t'} \right)$

Recuperación = Expresión de Jacob para abatimientos, pero con tiempos t' contados a partir del instante en que se interrumpe el funcionamiento de la bomba.

Posteriormente cuando se experimente solo variando el gasto (disminuyendolo) en ΔQ , se tendran solo variaciones de nivel (recuperaciones parciales).

Volviendo a la expresión de abatimientos de Jacob y modificandola (solo de forma), para un pozo de extracción y un pozo de observación a una distancia r .

$$s = \frac{Q}{4\pi T} (-0.5772 - \text{Ln } u)$$

$$0.5772 = \text{Ln } x: \quad \text{Antilog } 0.5772 = x; \quad x = 1.78104$$

$$\text{Ln } 1.78104 = 0.5772$$

$$s = \frac{Q}{4 \pi T} (- \text{Ln } 1.78104 - \text{Ln } u)$$

$$u = \frac{Sr^2}{4 T t}$$

$$s = \frac{Q}{4 \pi T} \left(\text{Ln} \frac{4 T t}{r^2 S} - \text{Ln } 1.78104 \right)$$

$$s = \frac{Q}{4 \pi T} \left(\text{Ln} \frac{4 T t}{1.78104 r^2 S} \right) = \frac{Q}{4 \pi T} \left(\text{Ln } 2.24588 \frac{T t}{r^2 S} \right)$$

$$s = \frac{Q}{4 \pi T} \left(\text{Ln } 2.25 \frac{T}{S} - \text{Ln} \frac{r^2}{t} \right)$$

$$s = - \frac{Q}{4 \pi T} \left(\text{Ln} \frac{r^2}{t} - \text{Ln } 2.25 \frac{T}{S} \right)$$

$$s = - \frac{2.3 Q}{4 \pi T} \left(\log \frac{r^2}{t} - \log \frac{2.25 T}{S} \right)$$

$$\frac{s}{Q} = - \frac{2.3}{4 \pi T} \left(\log \frac{r^2}{t} - \log \frac{2.25 T}{S} \right) \text{ ----- (A)}$$

Con la expresión para recuperaciones puede hacerse lo mismo y obtener expresiones idénticas.

$$\text{Recuperación: } s - s' = c \left(- C - \text{Ln} \frac{r^2 S}{4 T t'} \right)$$

tenemos que: $\text{Ln } 1.78104 = 0.5772 = C$

$$s - s' = c \left(- \text{Ln } 1.78104 - \text{Ln} \frac{r^2 S}{4 T t'} \right)$$

$$s - s' = c \left(\text{Ln} \frac{4 T t'}{r^2 S} - \text{Ln } 1.78104 \right)$$

$$s - s' = c \left(\ln \frac{4Tt'/r^2 S}{1.78104} \right) = c \left(\ln 2.25 \frac{T t'}{r^2 S} \right)$$

$$s - s' = c \left(\ln 2.25 \frac{T}{S} - \ln \frac{r^2}{t'} \right)$$

$$s - s' = -c \left(\ln \frac{r^2}{t'} - \ln 2.25 \frac{T}{S} \right)$$

Sustituyendo el valor de c.

$$s - s' = - \frac{Q}{4 \pi T} \left(\ln \frac{r^2}{t'} - \ln 2.25 \frac{T}{S} \right)$$

en donde: $s - s'$ = Recuperación
 s' = Abatimientos Residuales
 t' = Tiempos contados a partir del instante
 en que se para la bomba.

Si se conviene en llamar s a las recuperaciones y t a los tiempos a partir del momento en que se para la bomba, la expresión:

$$s = - \frac{Q}{4 \pi T} \left(\ln \frac{r^2}{t} - \ln 2.25 \frac{T}{S} \right)$$

se puede usar para recuperaciones en lugar de abatimientos.

No olvidar que lo que se mide son abatimientos residuales.

Un pozo de observación y dos pozos de extracción, sea

que se trate de abatimientos o recuperaciones con la advertencia de la nomenclatura mencionada.

Es decir, si se trata de abatimientos los tiempos se cuentan desde que se inicie el bombeo, y "s" son los abatimientos de niveles, tal como se miden: profundidades respecto del nivel freático.

Si se trata de recuperaciones los tiempos t' se cuentan a partir del instante en que se para la bomba, y las recuperaciones s son las diferencias del abatimiento contado desde el abatimiento respecto del instante en que se inicia el bombeo, menos el abatimiento residual que se mide.

$$c_1 = \frac{2.3 Q}{4 \pi T} \quad ; \quad c_2 = \frac{2.3 Q}{4 \pi T}$$

Trabajando independientemente. Un solo s_1 con su correspondiente t_1

$$s_1 = - c_1 \left(\log \frac{r_1^2}{t_1} - \log 2.25 \frac{T}{S} \right)$$

$$s_2 = - c_2 \left(\log \frac{r_2^2}{t_2} - \log 2.25 \frac{T}{S} \right)$$

IV. OTROS METODOS PARA OBTENER LAS CONSTANTES "T" Y "S"

a) METODO DE SUPERPOSICION DE CURVAS

En base a las formulas de Theis:

$$s = \frac{Q}{4 \pi T} W(u) ; \quad u = \frac{r^2 S}{4 T t}$$

El propio Theis desarrolló un metodo gráfico de solución para determinar los parámetros T y S, siguiendo la siguiente secuela:

- a) Trazar una curva tipo $W(u) - 1/u$ en papel con doble trazado logaritmico.
- b) Construir la gráfica, abatimiento — tiempo (cuando se tiene un solo pozo de observación), con los datos obtenidos en el campo.
- c) Superponer las gráficas, manteniendo los ejes paralelos, y buscar la coincidencia de las curvas de campo y la curva tipo.

- d) Seleccionar un punto de ajuste, y obtener sus coordenadas.
- e) Substituir los valores de las coordenadas en las ecuaciones de Theis, y despejar los valores de T y S.

Por lo general los puntos correspondientes a los primeros tiempos de la prueba, son los que presentan una mayor discrepancia entre las condiciones reales, y las hipótesis establecidas para la obtención de la fórmula, ya que existe un cierto retraso entre el abatimiento de la superficie piezométrica, y la liberación del agua, retraso que puede ser mayor en esa parte de la prueba, en la que los niveles se abaten rapidamente.

Por otro lado, el caudal puede variar apreciablemente por el incremento brusco de la carga de bombeo, etc.; para tiempos mayores de bombeo estas discrepancias se van minimizando, y se tiene un mejor ajuste entre la teoría y las condiciones reales.

A continuación, presento las gráficas de la curva tipo y la curva de campo, necesarias para encontrar las constantes. También presento, las tablas en las que se encuentran los valores de la función de pozo en relación con los de-
u.

Junto con la curva de campo, presento las observaciones realizadas en una prueba de bombeo, y la interpretación -- con un ajuste a la curva tipo (pag. 54).

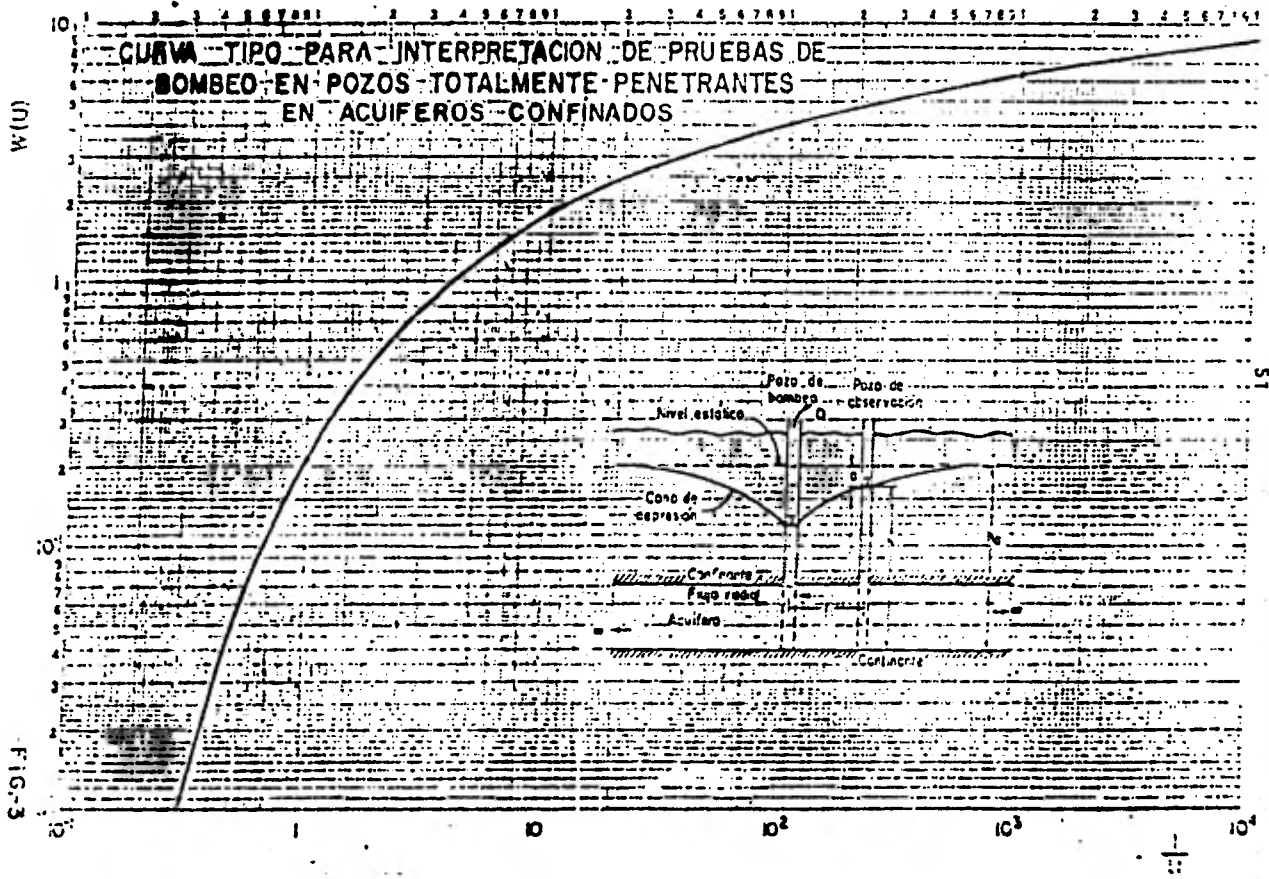


FIG-3

TABLA N° 1

TABLAS DE LA FUNCION DE POZO

	$x \times 10^{-1}$	$x \times 10^{-2}$	$x \times 10^{-3}$	$x \times 10^{-4}$	$x \times 10^{-5}$	$x \times 10^{-6}$	$x \times 10^{-7}$	$x \times 10^{-8}$	$x \times 10^{-9}$	$x \times 10^{-10}$	$x \times 10^{-11}$	$x \times 10^{-12}$	$x \times 10^{-13}$	$x \times 10^{-14}$	$x \times 10^{-15}$
1.0	31.416	31.659	29.3561	27.0535	24.7512	22.4486	20.1460	17.8435							
1.1	31.662	31.867	29.511	27.2038	24.9038	22.6043	20.3027	18.0002							
1.2	31.912	32.147	29.741	27.4173	25.1300	22.8303	20.5287	18.2281							
1.3	32.166	32.396	29.961	27.6314	25.3580	23.0581	20.7566	18.4560							
1.4	32.424	32.623	30.179	27.8461	25.5875	23.2892	20.9850	18.6840							
1.5	32.686	32.853	30.396	28.0614	25.8185	23.5219	21.2141	18.9120							
1.6	32.952	33.082	30.611	28.2783	26.0510	23.7566	21.4443	19.1400							
1.7	33.222	33.311	30.824	28.4958	26.2850	23.9931	21.6756	19.3680							
1.8	33.496	33.539	31.036	28.7139	26.5205	24.2418	21.9073	19.5960							
1.9	33.774	33.767	31.247	28.9326	26.7575	24.4921	22.1381	19.8240							
2.0	34.056	33.996	31.457	29.1519	26.9960	24.7440	22.3700	20.0520							
2.1	34.342	34.224	31.666	29.3718	27.2360	24.9975	22.6040	20.2800							
2.2	34.632	34.452	31.874	29.5923	27.4775	25.2535	22.8400	20.5080							
2.3	34.926	34.680	32.081	29.8144	27.7205	25.5090	23.0780	20.7360							
2.4	35.224	34.908	32.287	30.0381	27.9650	25.7705	23.3180	20.9640							
2.5	35.526	35.136	32.492	30.2634	28.2110	26.0330	23.5600	21.1920							
2.6	35.832	35.364	32.696	30.4903	28.4585	26.2975	23.8040	21.4160							
2.7	36.142	35.592	32.900	30.7188	28.7075	26.5640	24.0500	21.6400							
2.8	36.456	35.820	33.103	30.9489	28.9580	26.8315	24.2860	21.8640							
2.9	36.774	36.048	33.306	31.1806	29.2100	27.1005	24.5240	22.0880							
3.0	37.096	36.276	33.508	31.4139	29.4635	27.3690	24.7640	22.3120							
3.1	37.422	36.504	33.710	31.6488	29.7185	27.6405	25.0060	22.5360							
3.2	37.752	36.732	33.911	31.8853	29.9750	27.9140	25.2520	22.7600							
3.3	38.086	36.960	34.112	32.1234	30.2330	28.1895	25.5000	22.9840							
3.4	38.424	37.188	34.313	32.3631	30.4925	28.4670	25.7500	23.2080							
3.5	38.766	37.416	34.514	32.6044	30.7535	28.7465	26.0020	23.4320							
3.6	39.112	37.644	34.715	32.8473	31.0160	29.0280	26.2560	23.6560							
3.7	39.462	37.872	34.916	33.0918	31.2800	29.3115	26.5120	23.8800							
3.8	39.816	38.100	35.117	33.3379	31.5455	29.5970	26.7700	24.1040							
3.9	40.174	38.328	35.318	33.5856	31.8125	29.8845	27.0300	24.3280							
4.0	40.536	38.556	35.519	33.8349	32.0810	30.1740	27.2920	24.5520							
4.1	40.902	38.784	35.720	34.0858	32.3510	30.4645	27.5560	24.7760							
4.2	41.272	39.012	35.921	34.3383	32.6225	30.7565	27.8220	25.0000							
4.3	41.646	39.240	36.122	34.5924	32.8955	31.0500	28.0900	25.2240							
4.4	42.024	39.468	36.323	34.8481	33.1700	31.3455	28.3820	25.4480							
4.5	42.406	39.696	36.524	35.1054	33.4460	31.6430	28.6760	25.6720							
4.6	42.792	39.924	36.725	35.3643	33.7235	31.9425	28.9720	25.8960							
4.7	43.182	40.152	36.926	35.6248	34.0025	32.2440	29.2700	26.1200							
4.8	43.576	40.380	37.127	35.8869	34.2830	32.5475	29.5700	26.3440							
4.9	43.974	40.608	37.328	36.1506	34.5650	32.8530	29.8720	26.5680							
5.0	44.376	40.836	37.529	36.4159	34.8485	33.1605	30.1760	26.7920							
5.1	44.782	41.064	37.730	36.6828	35.1335	33.4700	30.4820	27.0160							
5.2	45.192	41.292	37.931	36.9513	35.4200	33.7815	30.7900	27.2400							
5.3	45.606	41.520	38.132	37.2214	35.7080	34.0950	31.1000	27.4640							
5.4	46.024	41.748	38.333	37.4931	35.9975	34.4115	31.4120	27.6880							
5.5	46.446	41.976	38.534	37.7664	36.2885	34.7300	31.7260	27.9120							
5.6	46.872	42.204	38.735	38.0413	36.5810	35.0505	32.0420	28.1360							
5.7	47.302	42.432	38.936	38.3178	36.8750	35.3730	32.3600	28.3600							
5.8	47.736	42.660	39.137	38.5959	37.1705	35.6975	32.6800	28.5840							
5.9	48.174	42.888	39.338	38.8756	37.4695	36.0240	33.0020	28.8080							
6.0	48.616	43.116	39.539	39.1569	37.7710	36.3525	33.3260	29.0320							
6.1	49.062	43.344	39.740	39.4398	38.0750	36.6830	33.6520	29.2560							
6.2	49.512	43.572	39.941	39.7243	38.3805	37.0155	33.9800	29.4800							
6.3	49.966	43.800	40.142	40.0104	38.6875	37.3500	34.3100	29.7040							
6.4	50.424	44.028	40.343	40.2981	38.9960	37.6865	34.6420	29.9280							
6.5	50.886	44.256	40.544	40.5874	39.3060	38.0340	34.9760	30.1520							
6.6	51.352	44.484	40.745	40.8783	39.6175	38.3835	35.3120	30.3760							
6.7	51.822	44.712	40.946	41.1708	39.9305	38.7345	35.6500	30.6000							
6.8	52.296	44.940	41.147	41.4649	40.2450	39.0870	35.9900	30.8240							
6.9	52.774	45.168	41.348	41.7606	40.5610	39.4405	36.3320	31.0480							
7.0	53.256	45.396	41.549	42.0579	40.8785	39.7965	36.6760	31.2720							
7.1	53.742	45.624	41.750	42.3568	41.1975	40.1540	37.0220	31.4960							
7.2	54.232	45.852	41.951	42.6573	41.5180	40.5135	37.3600	31.7200							
7.3	54.726	46.080	42.152	42.9594	41.8400	40.8750	37.7000	31.9440							
7.4	55.224	46.308	42.353	43.2631	42.1635	41.2385	38.0420	32.1680							
7.5	55.726	46.536	42.554	43.5684	42.4895	41.6050	38.3120	32.3920							
7.6	56.232	46.764	42.755	43.8753	42.8170	41.9735	38.5840	32.6160							
7.7	56.742	46.992	42.956	44.1838	43.1460	42.3440	38.8580	32.8400							
7.8	57.256	47.220	43.157	44.4939	43.4765	42.7165	39.1340	33.0640							
7.9	57.774	47.448	43.358	44.8056	43.8085	43.0910	39.4120	33.2880							
8.0	58.296	47.676	43.559	45.1189	44.1420	43.4605	39.6920	33.5120							

52

Para la curva de salida de los datos de la columna correspondiente en la primera columna se encuentran en la misma columna de cada fila...

La curva de salida de los datos de la columna de la que se trata en la primera columna de la tabla de la función de pozo...

TABLAS DE LA FUNCION DE POZO (CONTINUACION)

	W=10	W=20	W=30	W=40	W=50	W=60	W=70	W=80	W=90	W=100	W=120	W=150	W=200	W=300	W=400	W=500	W=600	W=800	W=1000	
1.0	22.761	29.2342	37.8510	48.3491	60.6165	74.7137	90.4113	108.1387	128.4861	151.9576	178.1481	207.5546	240.7000	278.1100	320.3000	367.8000	420.0000	477.5000	540.0000	607.5000
1.5	22.761	29.2342	37.8510	48.3491	60.6165	74.7137	90.4113	108.1387	128.4861	151.9576	178.1481	207.5546	240.7000	278.1100	320.3000	367.8000	420.0000	477.5000	540.0000	607.5000
2.0	22.761	29.2342	37.8510	48.3491	60.6165	74.7137	90.4113	108.1387	128.4861	151.9576	178.1481	207.5546	240.7000	278.1100	320.3000	367.8000	420.0000	477.5000	540.0000	607.5000
2.5	22.761	29.2342	37.8510	48.3491	60.6165	74.7137	90.4113	108.1387	128.4861	151.9576	178.1481	207.5546	240.7000	278.1100	320.3000	367.8000	420.0000	477.5000	540.0000	607.5000
3.0	22.761	29.2342	37.8510	48.3491	60.6165	74.7137	90.4113	108.1387	128.4861	151.9576	178.1481	207.5546	240.7000	278.1100	320.3000	367.8000	420.0000	477.5000	540.0000	607.5000
3.5	22.761	29.2342	37.8510	48.3491	60.6165	74.7137	90.4113	108.1387	128.4861	151.9576	178.1481	207.5546	240.7000	278.1100	320.3000	367.8000	420.0000	477.5000	540.0000	607.5000
4.0	22.761	29.2342	37.8510	48.3491	60.6165	74.7137	90.4113	108.1387	128.4861	151.9576	178.1481	207.5546	240.7000	278.1100	320.3000	367.8000	420.0000	477.5000	540.0000	607.5000
4.5	22.761	29.2342	37.8510	48.3491	60.6165	74.7137	90.4113	108.1387	128.4861	151.9576	178.1481	207.5546	240.7000	278.1100	320.3000	367.8000	420.0000	477.5000	540.0000	607.5000
5.0	22.761	29.2342	37.8510	48.3491	60.6165	74.7137	90.4113	108.1387	128.4861	151.9576	178.1481	207.5546	240.7000	278.1100	320.3000	367.8000	420.0000	477.5000	540.0000	607.5000
5.5	22.761	29.2342	37.8510	48.3491	60.6165	74.7137	90.4113	108.1387	128.4861	151.9576	178.1481	207.5546	240.7000	278.1100	320.3000	367.8000	420.0000	477.5000	540.0000	607.5000
6.0	22.761	29.2342	37.8510	48.3491	60.6165	74.7137	90.4113	108.1387	128.4861	151.9576	178.1481	207.5546	240.7000	278.1100	320.3000	367.8000	420.0000	477.5000	540.0000	607.5000
6.5	22.761	29.2342	37.8510	48.3491	60.6165	74.7137	90.4113	108.1387	128.4861	151.9576	178.1481	207.5546	240.7000	278.1100	320.3000	367.8000	420.0000	477.5000	540.0000	607.5000
7.0	22.761	29.2342	37.8510	48.3491	60.6165	74.7137	90.4113	108.1387	128.4861	151.9576	178.1481	207.5546	240.7000	278.1100	320.3000	367.8000	420.0000	477.5000	540.0000	607.5000
7.5	22.761	29.2342	37.8510	48.3491	60.6165	74.7137	90.4113	108.1387	128.4861	151.9576	178.1481	207.5546	240.7000	278.1100	320.3000	367.8000	420.0000	477.5000	540.0000	607.5000
8.0	22.761	29.2342	37.8510	48.3491	60.6165	74.7137	90.4113	108.1387	128.4861	151.9576	178.1481	207.5546	240.7000	278.1100	320.3000	367.8000	420.0000	477.5000	540.0000	607.5000
8.5	22.761	29.2342	37.8510	48.3491	60.6165	74.7137	90.4113	108.1387	128.4861	151.9576	178.1481	207.5546	240.7000	278.1100	320.3000	367.8000	420.0000	477.5000	540.0000	607.5000
9.0	22.761	29.2342	37.8510	48.3491	60.6165	74.7137	90.4113	108.1387	128.4861	151.9576	178.1481	207.5546	240.7000	278.1100	320.3000	367.8000	420.0000	477.5000	540.0000	607.5000
9.5	22.761	29.2342	37.8510	48.3491	60.6165	74.7137	90.4113	108.1387	128.4861	151.9576	178.1481	207.5546	240.7000	278.1100	320.3000	367.8000	420.0000	477.5000	540.0000	607.5000
10.0	22.761	29.2342	37.8510	48.3491	60.6165	74.7137	90.4113	108.1387	128.4861	151.9576	178.1481	207.5546	240.7000	278.1100	320.3000	367.8000	420.0000	477.5000	540.0000	607.5000

Para la gama de valores de u que interesa, elegir la columna correspondiente a $u = 1/x$ primera de 10, y en la misma fila de la misma columna de W que aparece en la primera columna se encuentran, en la misma columna, los valores correspondientes de la función de pozo $W(u)$.

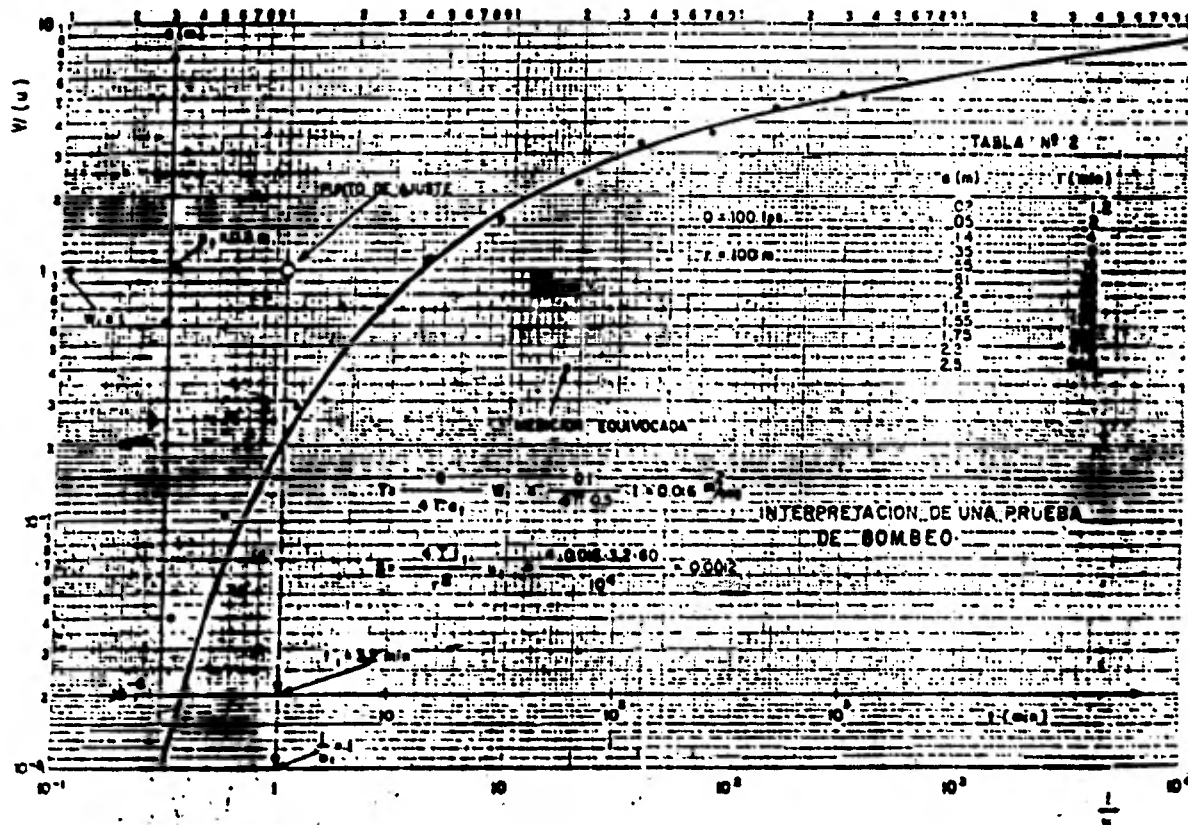


FIGURA 4

b) METODO DE JACOB

Trabajando con la fórmula de Theis, Jacob encontró - que para tiempos largos ($t > 5Sr^2 / T$), los valores de u resultan lo suficientemente pequeños para que la fórmula de Theis, - pueda modificarse sin error significativo a la forma siguiente - te:

$$a = \frac{2.3 Q}{4 \pi T} \log \frac{2.25 Tt}{r^2 S}$$

A partir de esta fórmula, desarrolló el método gráfico de interpretación que lleva su nombre, y que consiste en lo siguiente:

1. Construir la gráfica abatimiento (en escala aritmética) contra tiempo (en escala logaritmica).
2. Pasar una recta por los puntos que se alinean y determinar su pendiente. Los tiempos correspondientes a los primeros minutos de la prueba generalmente se apartan de la recta, debido a que -- corresponden a tiempos cortos ($t > 5 S r^2 / T$) para los cuales no es valida la fórmula de Jacob.

3. Si la pendiente de la recta de ajuste es m , la transmisibilidad puede obtenerse de la siguiente expresión:

$$T = \frac{0.183 Q}{m}$$

4. Determinar el valor del tiempo t_0 , para el cual la prolongación de la recta de ajuste intercepta la línea de abatimiento nulo.

5. Calcular el coeficiente de almacenamiento mediante la expresión:

$$S = \frac{2.25 T t_0}{r^2}$$

En la figura explicativa, se muestra la aplicación del método cuando se tiene un solo pozo de observación.

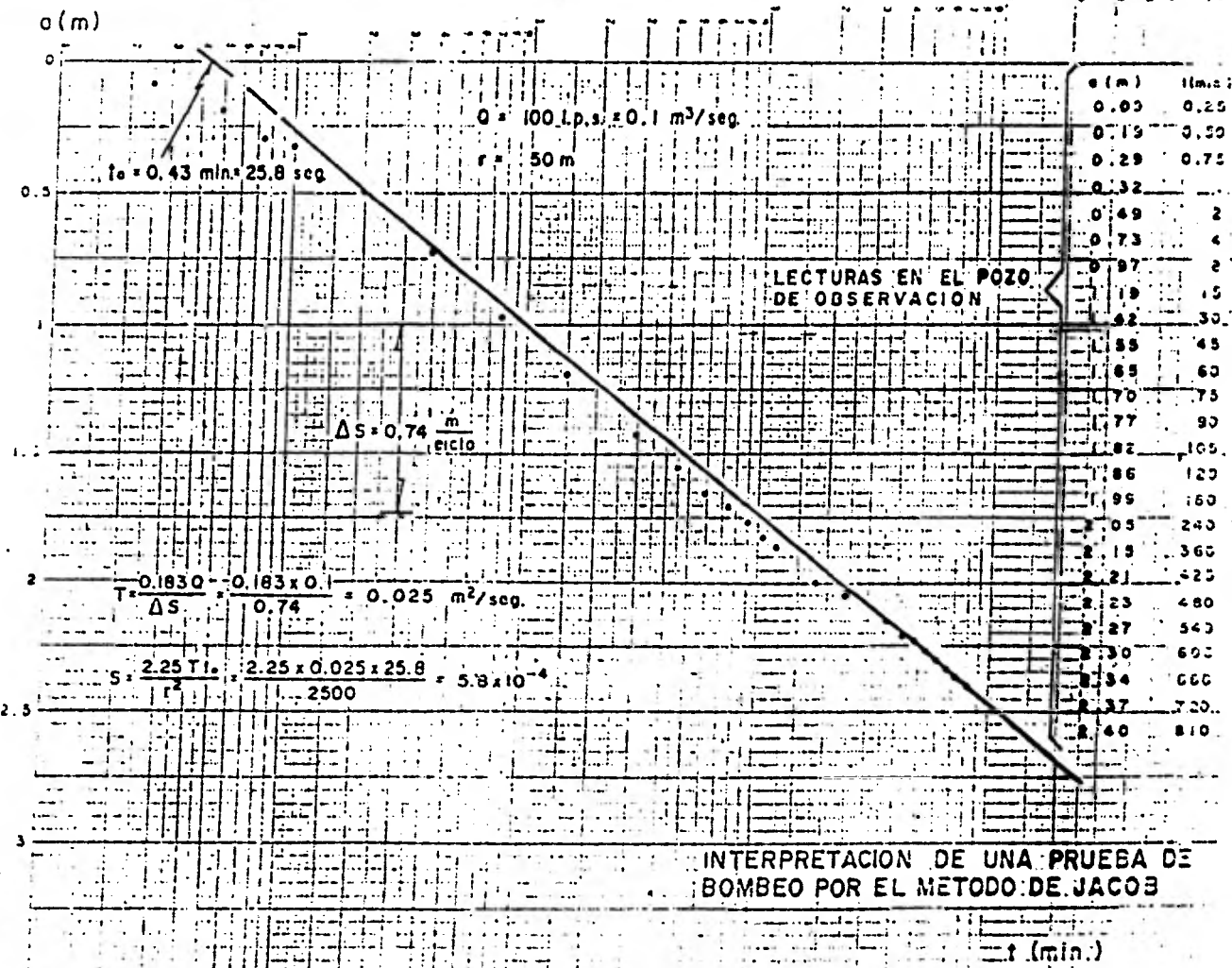
El método anterior también puede seguirse, cuando se conocen los abatimientos en varios pozos de observación para un tiempo dado. En este caso se grafica el abatimiento (en escala aritmética) contra la distancia (en escala logarítmica).

Los coeficientes buscados se obtienen mediante las fórmulas:

$$T = \frac{0.366 Q}{m} \quad y \quad S = \frac{2.25 T t}{r_0^2}$$

En donde r_0 corresponde al valor para el cual la prolongación de la recta de ajuste, intercepta la línea de abatimiento nulo.

La forma mas general del metodo, se aplica cuando se tienen observaciones en varios pozos de observación para diferentes tiempos. En este caso, los valores de la relación t/r^2 se anotan en el eje logaritmico, y se sigue la secuela descrita anteriormente.



INTERPRETACION DE UNA PRUEBA DE BOMBEO POR EL METODO DE JACOBI

t (min.)

V. MODELO PARA UN CONJUNTO DE POZOS

Una poderosa herramienta usada al analizar los datos de la prueba de bombeo (cuando una amplia variedad de condiciones fundan su existencia), es el principio de "Superposición".

Este principio asume que: 'El total de los abatimientos producidos, en algún punto en una descarga múltiple de pozos en un campo, es igual a la suma de los abatimientos producidos por cada pozo solo.'

Los resultados de las pruebas en los pozos de bombeo, y por lo tanto el principio de superposición, fueron comprobados por Cooper H. H. y Jacob C.E. en 1946.

Usando el principio de superposición desarrollado anteriormente llegamos a la siguiente ecuación de un conjunto de n pozos bombeados simultáneamente.

$$\frac{\sum \Delta s_i}{\sum Q_i} = - \frac{2.3}{4 \pi T} \left(\sum_{i=1}^n \frac{\Delta Q_i}{Q_t} \right) \log \frac{r_i^2}{t_i} - \log 2.25 \frac{T}{S}$$

en donde:

$\frac{s_i}{Q_i}$ = Abatimiento específico en un campo de pozos de bombeo o recuperación específica.

r_i^2 = Cuadrado de la distancia entre el pozo de observación y cada uno de los pozos de bombeo.

t_i = Tiempo de duración de la prueba de bombeo.

$Q_t = \Sigma Q_i$ = Suma de los gastos extraídos de los pozos, en todo el campo.

T = Coeficiente de transmisibilidad.

S = Coeficiente de Almacenamiento.

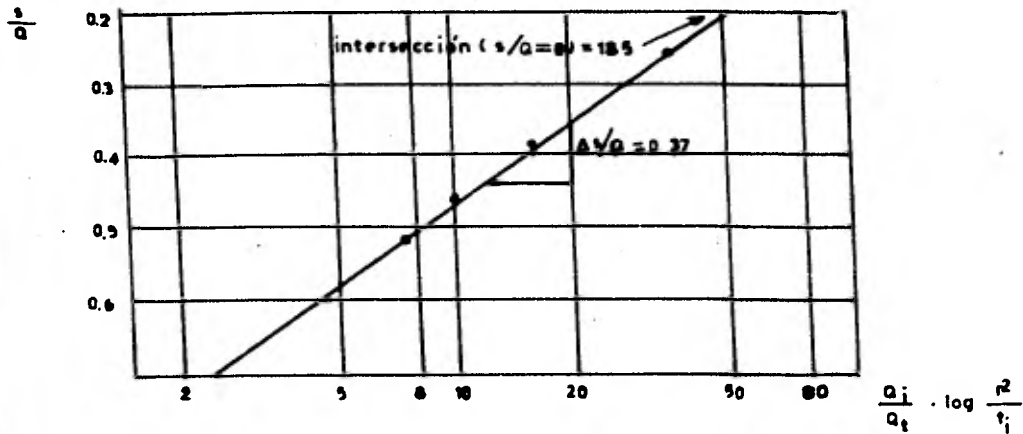
Lograndose dos pruebas con sus s_i y Q_i se puede resolver la anterior ecuación como dos ecuaciones simultaneas; ya que en esa expresión solo hay dos incognitas T y S .

Sin embargo es mejor obtener tres o cuatro medidas o pruebas, para el hidrograma y trazar una línea recta aproximado con minimos cuadrados o alguna otra curva.

La solución será derivada graficamente; Graficando:

$$\frac{Q_i}{Q_t} \log \frac{r^2}{t_i} \quad \text{contra} \quad \frac{s_i}{Q_t}$$

en papel semilogaritmico; de la siguiente manera:



Los datos de las pruebas de bombeo se arreglan en una tabla para mayor facilidad y este arreglo usarlo para resolver la ecuación en una computadora digital, dada la gran cantidad de operaciones que se tienen que hacer.

La transmisibilidad "T" y el almacenamiento "S" pueden obtenerse de la gráfica con las siguientes relaciones:

$$T = \frac{2.3 / 4 \pi}{\Delta (s_i / Q_t) / \log \text{ ciclo}}$$

$$S = 2.25 T / (r^2 / t)_o$$

En donde:
$$\frac{1}{(r^2 / t)_o} = \left(\frac{Q_i}{Q_t} \log \frac{r_i^2}{t_i} \right)_o \text{ o sea la}$$

intersección de la línea recta con $s_i / Q_t = 0$

Este método es muy versátil, pues el procedimiento de análisis es el mismo para diez descargas diferentes en un simple pozo de bombeo, como para diez pozos de bombeo en descarga constante ó también nos sirve si observamos abatimientos o recuperaciones.

MODELO

Colocando al campo de pozos en coordenadas cartesianas podemos obtener el abatimiento en cualquier punto o pozo del campo; debido al bombeo de los pozos restantes.

$$s = \frac{Q}{4 \pi T} (-0.5772 - \ln u) \quad \text{y} \quad u = \frac{S r^2}{4 T t}$$

obtenemos nuestro modelo:

$$s(x, y, t) = \frac{1}{4\pi T} \sum_{k=1}^n Q_k \left(-0.5772 - \text{Ln} \left(\frac{(x - x_k)^2 + (y - y_k)^2}{4 T t} S \right) \right)$$

En donde:

x_k e y_k : Son coordenadas del k ésimo pozo de bombeo.

$s(x, y, t)$: Es el abatimiento en un punto x, y en algún tiempo t debido a n pozos de bombeo.

Se puede usar como en este caso una sola transmisibilidad o usar transmisibilidades direccionales T_x y T_y en cuyo caso tendremos:

$$s(x, y, t) = \frac{1}{4\pi \sqrt{T_x T_y}} \sum_{k=1}^n Q_k \left(-0.5772 - \text{Ln} \left(\frac{(x-x_k)^2}{T_x} + \frac{(y-y_k)^2}{T_y} \right) \frac{S}{4t} \right)$$

VI. EJEMPLO NUMERICO PARA EL MODELO DE CAMPO DE POZOS

En realidad se trata de la resolución de dos problemas:

- 1º Encontrar las constantes del acuífero (T y S) en un campo de pozos, usando el principio de Superposición.
- 2º Ya conocidas las constantes del acuífero, encontrar el abatimiento en un punto cualquier del campo de pozos (aplicación del modelo).

Para desarrollar el ejemplo necesitamos los siguientes datos:

- 1º r = Distancia de todos los pozos al punto de observación
 ΔQ = Variación de los gastos en los pozos de bombeo.
 s = Abatimiento o recuperación en el pozo de observación
 t = Tiempo de duración de las pruebas:

- 2º Con los datos anteriores encontrar T y S del acuífero; ahora colocando ejes cartesianos al campo de pozos podemos encontrar el abatimiento en cualquier punto del acuífero y necesitaremos:

- Coordenadas cartesianas de todos los pozos
- Tiempo para el que se desea conocer el abatimiento
- Coordenadas del punto en que se desea conocer el comportamiento del acuífero.
- Constantes T y S:

DATOS:

Tenemos un conjunto de pozos; uno de observación y -- cuatro de bombeo. Los datos son vaciados en una tabla para ma yor facilidad en su manejo.

(1) No Pozo	(2) r (dist.) (m)	(3) r (seg)	(4) s(abat) (m)	(5) r ² /t	(6) log (r ² /t)	(7) ΔQ _i (m.c.s.)	(8) ΔQ _i (log r ² /t)	(9) (8)/Q _t	(10) Antilog (9)	(11) s/Q _t
1	2655.42	691200		10.20	1.008	0.0339	0.0342			
2	1850.75	691200		4.95	0.694	0.0351	0.0244			
3	1931.21	691200		5.39	0.732	0.0555	0.0406			
4	1689.81	691200		4.13	0.616	<u>0.0849</u>	<u>0.0523</u>			
			2.01			0.2094	0.1515	0.7235	5.29	9.6000
1	2655.42	1555200		4.53	0.656	0.0339	0.0222			
2	1850.75	1555200		2.20	0.342	0.0351	0.0120			
3	1931.21	1555200		2.40	0.380	0.0555	0.0211			
4	1689.81	1555200		1.84	0.264	<u>0.0849</u>	<u>0.0244</u>			
			2.96			0.2094	0.0777	0.3711	2.35	14.136
1	2655.42	2419200		2.91	0.463	0.0339	0.0157			
2	1850.75	2419200		1.41	0.149	0.0351	0.0052			
3	1931.21	2419200		1.54	0.187	0.0555	0.0104			
4	1689.81	2419200		1.18	0.072	<u>0.0849</u>	<u>0.0061</u>			
			3.51			0.2094	0.0374	0.1786	1.51	16.762
1	2655.42	3283200		2.15	0.332	0.0339	0.0112			
2	1850.75	3283200		1.04	0.017	0.0351	0.0006			
3	1931.21	3283200		1.14	0.057	0.0555	0.00316			
4	1689.81	3283200		0.87	-0.060	<u>0.0849</u>	<u>-0.00509</u>			
			3.93			0.2094	0.00987	0.0471	1.11	18.768

66

$$\frac{\sum_{i=1}^n s_i}{\sum_{i=1}^n Q_i} = - \frac{2.3}{4\pi T} \left[\sum_{i=1}^n \frac{\Delta Q_i}{Q_t} \log \frac{r_i^2}{t_i} - \log 2.25 \frac{T}{S} \right]$$

AJUSTE DE LA CURVA USANDO MINIMOS CUADRADOS

	<u>Y</u>	<u>X</u>	<u>X²</u>	<u>XY</u>	<u>Y_{calc}</u>
	9.600	0.7235	0.5234	6.945	9.514
	14.136	0.3711	0.1377	5.245	14.261
	16.762	0.1786	0.0319	2.993	16.854
	<u>18.768</u>	<u>0.0471</u>	<u>0.0022</u>	<u>0.8839</u>	<u>18.625</u>
sumas	59.266	1.3203	0.6952	16.0669	
medias	14.816	0.33007	0.1738	4.0167	

$$\Sigma R_i^2 = \Sigma \left[\alpha + \beta (X_i - \bar{X}) - Y_i \right]^2$$

$$\alpha = \bar{Y} = 14.816$$

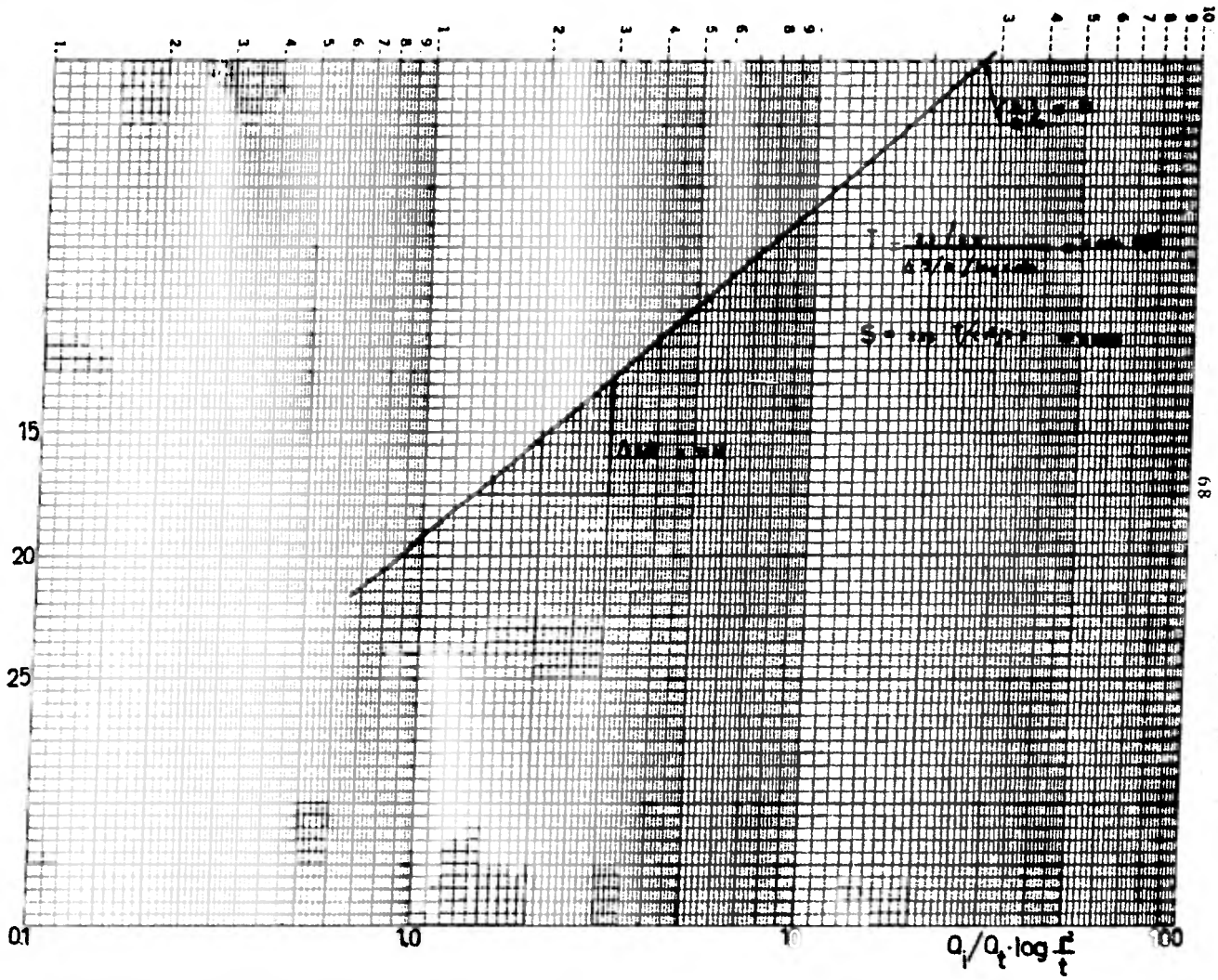
$$\beta = \frac{\Sigma X_i Y_i - n \bar{X} \bar{Y}}{\Sigma X_i^2 - n \bar{X}^2} = \frac{16.0669 - 4 \times 0.33 \times 14.816}{0.695218 - 4 (0.33007)^2} = -13.467$$

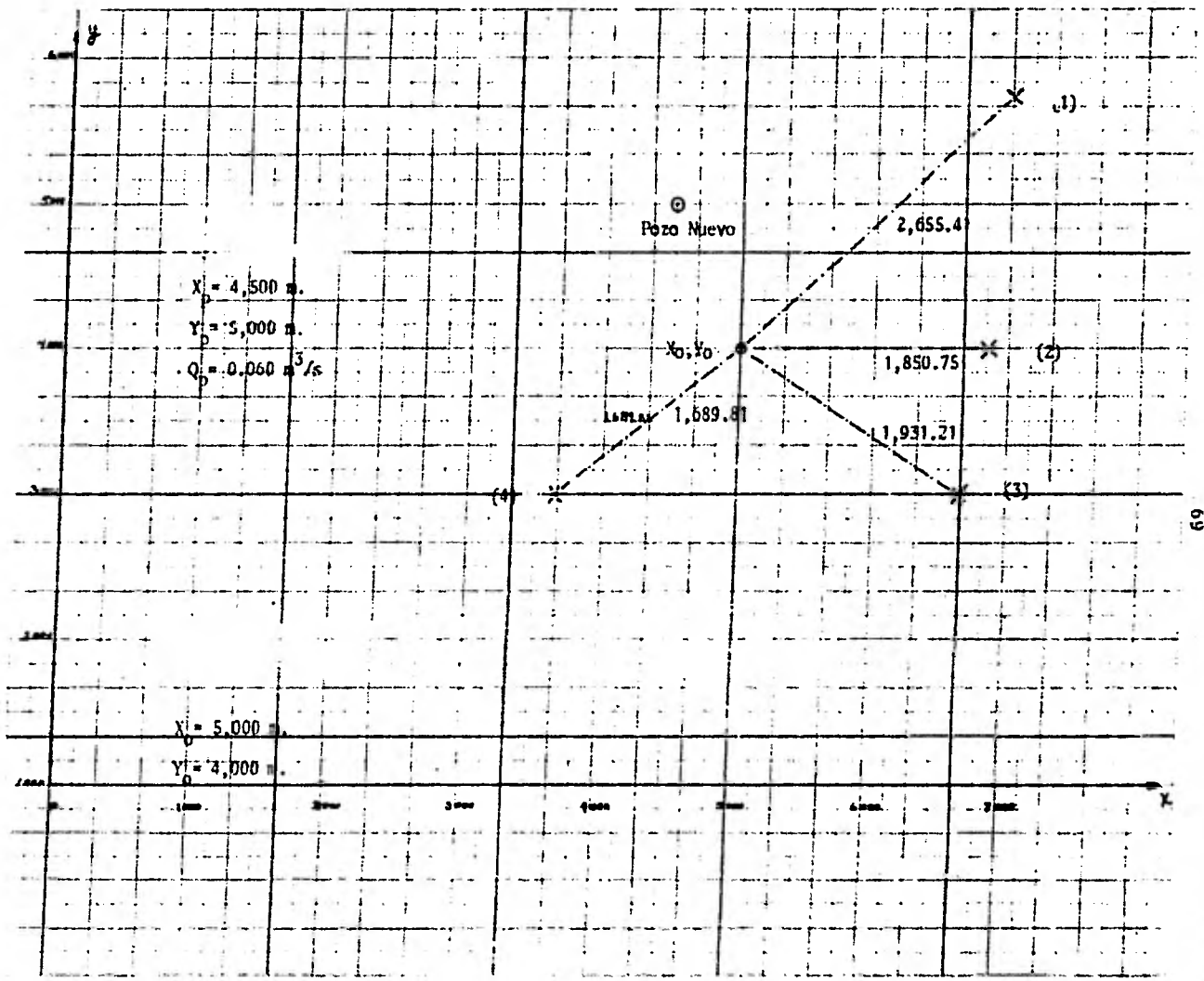
$$Y_c = 14.816 + (-13.47) (X - 0.33)$$

$$Y_c = 19.26 - 13.47 X$$

Ahora graficaremos en papel semilogaritmico los valores:

<u>X</u>	<u>Antilog X</u>	<u>Y</u>
0.7235	5.29	9.514
0.3711	2.35	14.261
0.1786	1.51	16.854
0.0471	1.11	18.625





Supongamos que vamos a abrir un nuevo pozo y deseamos-
saber cual será el abatimiento en ese lugar en un tiempo deter-
minado (3 años), bombeandose a gasto constante (60 lt/s). Para
lo cual calcularemos el abatimiento en el lugar del nuevo pozo,
debido al bombeo de los pozos que ya funcionan. Después calcu-
laremos el abatimiento total; debido a todos los pozos y el -
nuevo que se abrirá.

$$s(x,y,t) = \frac{1}{4 \pi T} \sum_{k=1}^n Q_k \left(-0.5772 - \ln \left(\frac{(X-X_p)^2 + (Y-Y_p)^2}{4 T t} \times S \right) \right)$$

Datos:

$X_p = 4500.00 \text{ m.}$	$Y_p = 5000.00 \text{ m.}$	$Q_p = 0.060 \text{ m}^3/\text{s}$
$X_1 = 7000.00$	$Y_1 = 5746.78$	$Q_1 = 0.0339$
$X_2 = 6850.75$	$Y_2 = 4000.00$	$Q_2 = 0.0351$
$X_3 = 6652.14$	$Y_3 = 3000.00$	$Q_3 = 0.0555$
$X_4 = 3637.85$	$Y_4 = 3000.00$	$Q_4 = 0.0849$
$t = 3 \text{ años} = 94.608 \times 10^6 \text{ seg.}$		$\text{diametro} = 0.60 \text{ m}$

Con las constantes encontradas anteriormente, entramos
a la fórmula.

$$T = 0.0136 \text{ m}^2/\text{seg}$$

$$S = 0.00113$$

$$s = \frac{1}{4\pi T} \times 0.0339 \left(-0.5772 - \ln \left(\frac{(7000-4500)^2 + (5746.78-5000)^2}{4 \times 0.0136 \times 94.608 \times 10^6} \right) \right)$$

x 0.00113)

$$0.0351 \left(-0.5772 - \ln \left(\frac{(6850.75-4500)^2 + (4000-5000)^2}{4 T t} \right) \right) \times 0.00113)$$

$$0.0555 \left(-0.5772 - \ln \left(\frac{(6652.14 - 4500)^2 + (3000-5000)^2}{4 T t} \right) \right) \times 0.00113)$$

$$0.0849 \left(-0.5772 - \ln \left(\frac{(3637.85 - 4500)^2 + (3000 - 5000)^2}{4 T t} \right) \right) \times 0.00113)$$

0.20098

0.20957

+ 0.31586

0.53401

1.26042

$$s = \frac{1}{4\pi T} (1.26042) = 7.375 \text{ m.}$$

Debido a los otros Pozos.

Tomando en cuenta el nuevo Pozo tenemos:

$$s = \frac{1}{4\pi T} \sum_{k=1}^n Q_k \left(-0.5772 - \ln \left(\frac{(X-X_k)^2 + (Y-Y_k)^2}{4 T t} \right) S \right) +$$

$$+ Q_p \left(-0.5772 - \ln \left(\frac{(d/2)^2}{4 T t} \right) S \right)$$

en donde:

d = diametro del pozo

$$0.060 \left(-0.5772 - \ln \left(\frac{(0.60/2)^2}{4 \times 0.0136 \times 94.608 \times 10^6} \right) 0.00113 \right) = 1.44421$$

$$\text{y suma} = (1.26042 + 1.44421) = 2.70463$$

de donde

$$s = \frac{1}{4\pi T} (2.70463) = \underline{15.82 \text{ m.}}$$

Abatimiento total, debido a todos los pozos y el nuevo pozo que se abrirá.

VII. PROGRAMA PARA LA COMPUTADORA

En este capítulo se desarrolla un programa para encontrar las constantes de formación de acuíferos, tanto libres como confinados: Coeficientes de Transmisibilidad y Almacenamiento.

También con este programa se calculará el abatimiento para cualquier tiempo deseado. Está basado en el modelo matemático desarrollado en el capítulo V.

El programa resolverá el ejemplo numérico de capítulo anterior, para ejemplificar, y entender, su desarrollo; pero sabiendo que este mismo programa sirve para cualquier número de pozos; podemos trabajar ya sea con abatimientos o con recuperaciones y es aplicable tanto a acuíferos libres como a acuíferos confinados. Para encontrar el abatimiento, solo es necesario proporcionar las coordenadas del punto en que deseamos conocer el abatimiento, para el tiempo o tiempos deseados.

Los coeficientes de formación se calculan alimentando a la computadora con los datos de las pruebas (se recomienda hacer más de dos pruebas) en todos los pozos, la cual los gra-

ficará y ajustará una recta por medio de los mínimos cuadrados (subrutina MNC) y con la pendiente de la recta aplicada a la fórmula encontramos el Coeficiente de Transmisibilidad, y a partir de este calculamos el Coeficiente de Almacenamiento.

Enseguida presento el diagrama de flujo del programa, el cual se corrió en la computadora IBM 11/50 del centro de -- cálculo de la Facultad de Ingeniería. También presento la codificación hecha por la propia computadora, con los datos y -- respuestas impresas.

DIAGRAMA DE FLUJO DE LA SUBROUTINA MNC
(MINIMOS CUADRADOS)

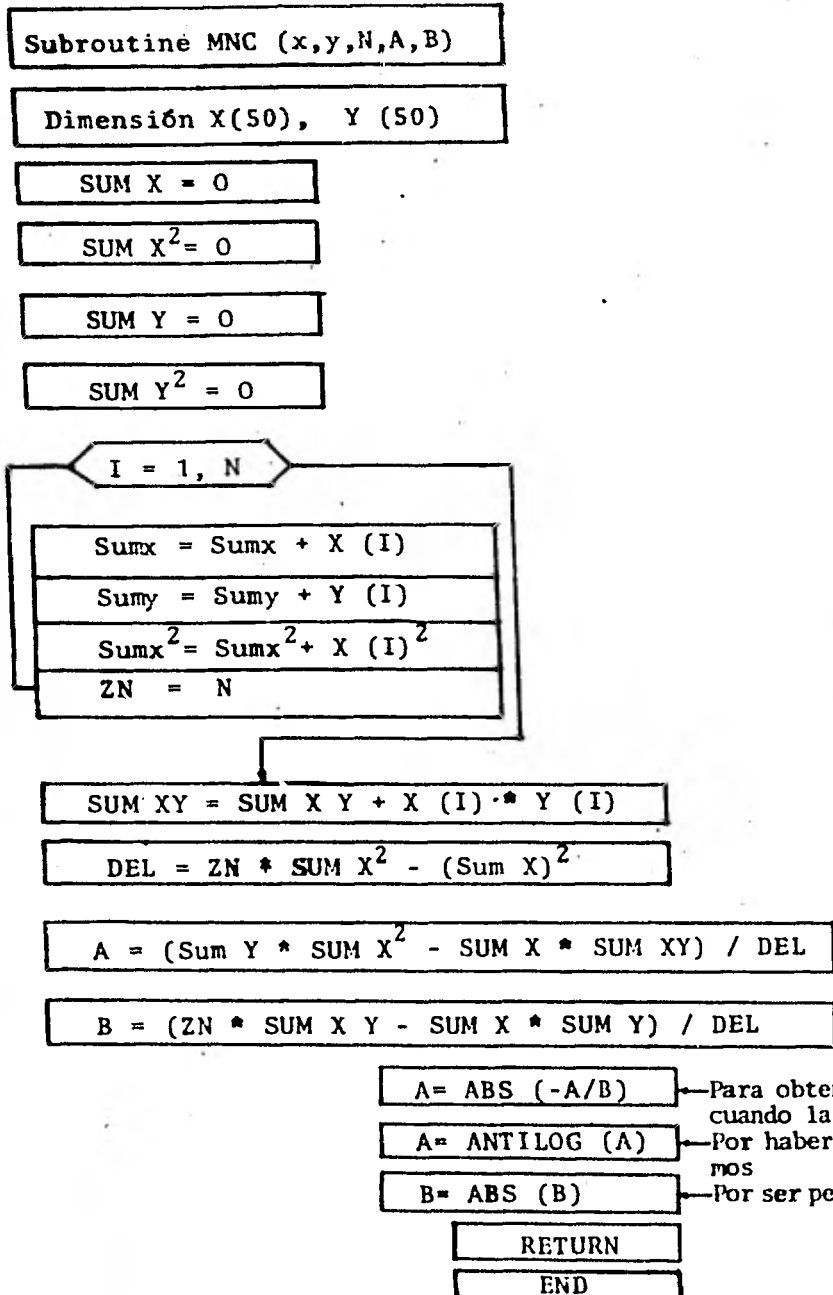


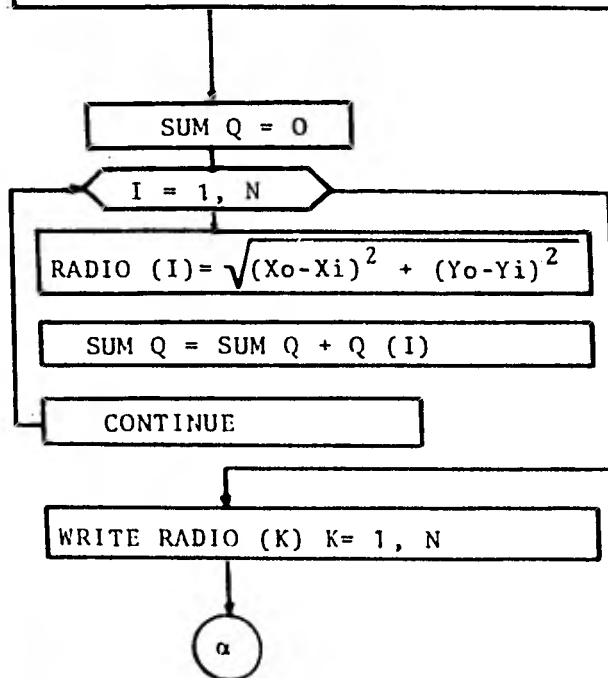
DIAGRAMA DE FLUJO DEL PROGRAMA FUENTE

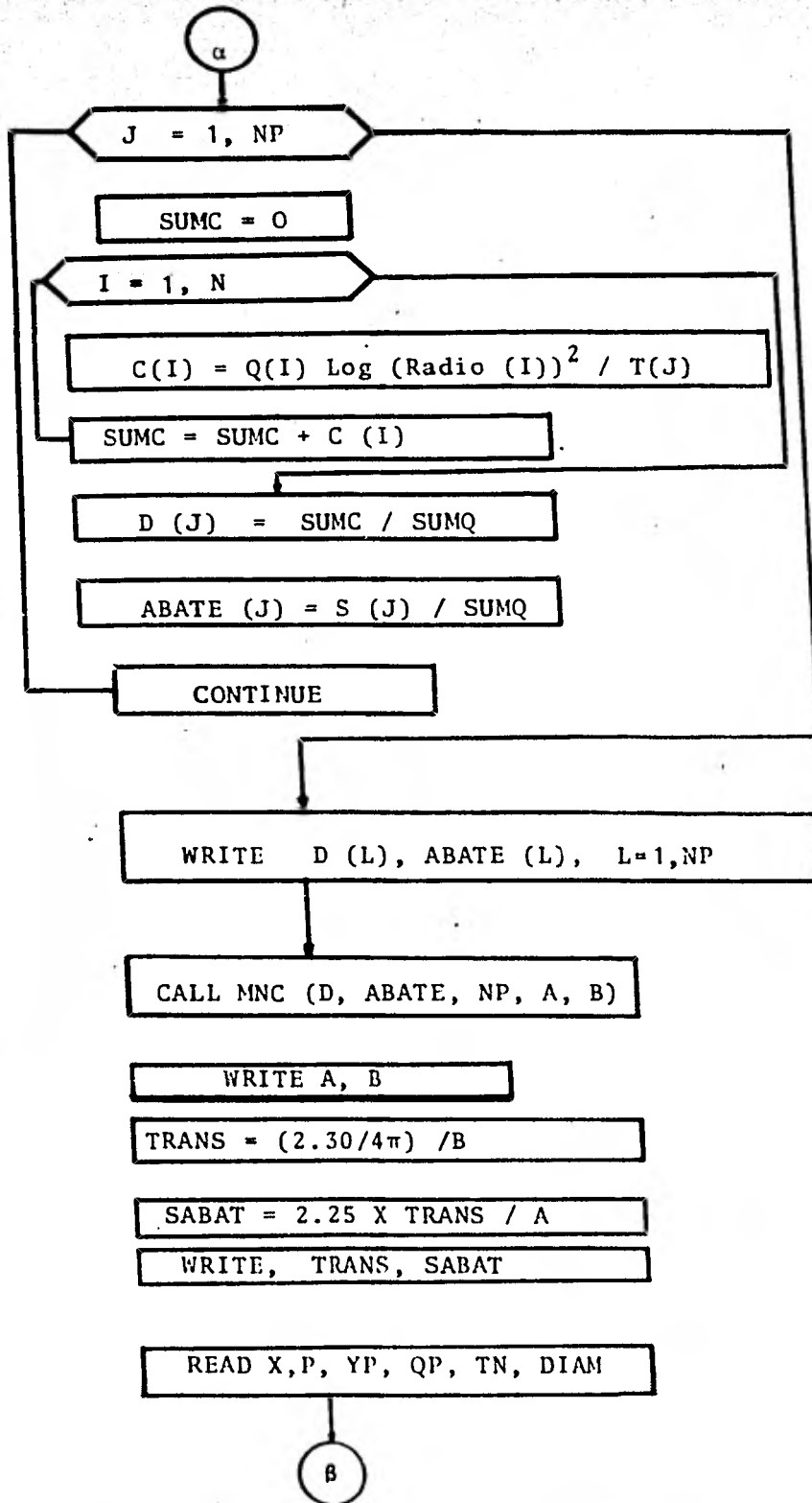
COMENTARIOS

Dimensión x(50), Y(50), Q(50)
 Radio(50), c(50),
 S(20), T(20),
 D(20), E(20), ABATE(20)
 PARC(20), F(20).

READ N, NP
 READ X(I), Y(I), Q(I), I=1,N
 READ Xo, Yo
 READ S(J), T(J), J=1,NP

WRITE N, NP
 WRITE X(I), Y(I), Q(I), I=1,N
 WRITE Xo Yo
 WRITE S(J), T(J) J=1,NP





B

WRITE XP, YP, QP, TN, DIAM

SUMPA = 0

DO 15 I=i,N

PAR (I) = $Q_i \times -0.5772 - \text{Log} \left((X_p - X_i)^2 + (Y_p - Y_i)^2 \right)$
 $\times \text{SABAT} / 4 \text{ TRANS TN}$

SUMPA = SUMPA + PARC (I)

CONTINUE

SUMPA = SUMPA + $Q_p \times -0.5772 - \text{Log} \left(\text{DIAM}/2 \right)^2 \times$
 $\text{SABAT}/4 \text{ T tn}$

WRITE PARC (I) I = 1,N
 WRITE SUMPA

ABAT = $1/4\pi T \times \text{SUMPA}$

WRITE ABAT

CALL EXIT

END

C-ERRS...NUMP.C... PROPOSICIONES FORTRAN FUENTE ... IDENTFCM *NCTAS DEL COMPILADOR*

 700 EQUIPAMIENTO LIAHATITICNIC #EA-2,2X, 9METROS*
 CALL EXIT
 END

OPERACIONES INDICADAS
 UN= NÚMERO INSTRUCCIONES
 STANLARD EQUATION
 SAVE
 FILE= (140) PRINTER
 LPER

LISTA DE MEMORIA PARA =
 EQUIPAMIENTO = VARIABLES Y TEMPORALES= 748, CONSTANTES Y PROGRAMA= 982

FIN DE LA COMPILACION

// XCC

CARTAS

A= 4 NP= 4

X= 7000.00 M. Y= 514.78 M. C=0.011900 PTO.C.S.

X= 6880.75 M. Y= 4000.00 M. C=0.035100 PTO.C.S.

X= 6452.14 M. Y= 3000.00 M. C=0.058500 PTO.C.S.

X= 3537.95 M. Y= 3000.00 M. C=0.084500 PTO.C.S.

FORMA DE REPRESENTACION

XC = 5212.00 M. YZ = 4000.00 M.

VARIACION DE NIVEL = 2.012 M-TSOS IIFEPD = 691200.12 S.GUADCS

18

VARIACION DE NIVEL = 2.460 METROS TIEMPO = 1559200.25 SEGUNDOS

VARIACION DE NIVEL = 3.910 METROS TIEMPO = 2519200.30 SEGUNDOS

VARIACION DE NIVEL = 3.930 METROS TIEMPO = 3283200.50 SEGUNDOS

RADIO = 2625.4167 METROS

RADIO = 1850.7500 METROS

RADIO = 1931.2042 METROS

RADIO = 1668.8086 METROS

PUNTOS DE LA GRAFICA

S = 0.722673 ABATE = 9.466406

PUNTOS DE LA GRAFICA

E = 0.371436 ABATE = 14.135023

PUNTOS DE LA GRAFICA

PUNTOS DE LA GRAFICA

E = 0.646921 AdATE = 16.767913

INTERCERO = 27.042419 PENDIENTE = 33.451340

TRANSMISIBILIDAD = 0.073606 ALMACENAMIENTO = 0.001132

CARGA DEL POZO NUEVO

XP = 4560.00 M. YP = 5000.00 M. GP = 0.600000 M.C.S.

TIEMPO = 4660016.10 SEGUNDOS DIAMETRO = 0.40 METROS

PARCIAL = 0.20093

PARCIAL = 0.20952

PARCIAL = 0.31578

PARCIAL = 0.53390

SUPA = 2.70427

ARATAMIENTO = 12.81 METROS

VIII. CONCLUSIONES Y COMENTARIOS

COMENTARIOS

El agua subterránea es un recurso natural muy importante y que hasta ahora no se le ha dado la debida importancia en nuestro país, como menciono durante el desarrollo de este trabajo, el agua subterránea es mayor en volumen que el agua superficial y mas aun no se necesita gastar las fabulosas sumas de dinero, como es el caso de aprovechamientos superficiales.

El estudio del agua subterránea por medio de las fórmulas de régimen establecido fue un avance muy grande en el estudio de esta materia, sin embargo estas fórmulas no toman en cuenta el efecto del tiempo que va afectando al acuífero aunque a simple vista parezca que el acuífero ya no se abate, se observa un abatimiento a través de los años y que llegará hasta el fondo del acuífero; Entonces si se extraerá solamente la cantidad de agua que recibe el acuífero, que es lo que supone la teoría de régimen establecido.

El estudio con las fórmulas de régimen inestable en que interviene el tiempo fue un gran avance dentro del estudio

moderno de las aguas subterráneas, en estas fórmulas interviene el tiempo afectando fundamentalmente las consideraciones de régimen establecido y en donde el abatimiento en un pozo de bombeo es función directa del tiempo de bombeo.

Aunque las fórmulas de régimen inestable desarrolladas por Theis están basadas en la suposición de acuífero confinado, son también válidas para acuíferos libres.

El método de superposición que presento en este trabajo es un desarrollo basado en las fórmulas de Theis y en la suposición de Jacob para un conjunto de pozos, suponiendo que en cada pozo tenemos un abatimiento y el efecto de todos ellos en uno de observación, es igual a la suma de los abatimientos de cada pozo. Esta aseveración fue comprobada por Cooper y Jacob en 1946 en un campo de pozos en California.

En el desarrollo de este trabajo destacan principalmente dos temas, a saber: primero el desarrollo de la fórmula de Theis a partir del número de Euler primeramente, en el cual descomponemos en dos sumandos la serie, después la expresamos como integral impropia y la desarrollamos, hasta llegar a la fórmula de Theis:

$$\int_u^{\infty} \frac{e^{-u}}{u} du = -0.5772 - \ln u + u - \frac{u^2}{2 \cdot 2!} + \frac{u^3}{3 \cdot 3!} - \dots \quad (1)$$

Enseguida a partir de la ecuación de pozos, la cual es una ecuación diferencial la que integramos y desarrollamos hasta llegar nuevamente a la fórmula de Theis (ecuación 1).

De esta manera llegamos a la mentada fórmula por dos caminos completamente diferentes.

El segundo tema sobresaliente es el modelo, basado en el principio de superposición, el cual es de gran ayuda cuando trabajamos con un número grande de pozos y podemos resolver -- utilizando el modelo y con la ayuda de una computadora digital, también es de interés el modelo para computadora que presento en lenguaje Fortran, en el cual se hace uso del modelo para -- campo de pozos, y con el cual se pueden obtener las características del acuífero: Transmisibilidad y Almacenamiento; también se obtiene el abatimiento en un punto cualquiera, para un tiempo dado.

Aunque en este Modelo no se toman en cuenta las recargas al acuífero, la velocidad de recarga es mucho menos que -- las extracciones, y siempre nos dará resultados dentro de la seguridad.

La aplicación de este modelo es válida para cuando -- aún no se ha agotado el almacenamiento del acuífero, en cuyo caso solamente se extraerá la cantidad de recarga y serán aplicables las fórmulas de régimen establecido.

CONCLUSIONES

La teoría de Theis sirve para acuíferos libres, aunque fue desarrollada para acuíferos confinados; siempre y cuando la gráfica (s,t) en escala semilogarítmica nos de una recta.

La teoría de Theis, aunque no incluye las recargas nos da resultados muy reales y errores pequeños, y dentro de la seguridad; pues los abatimientos serán menores que los predichos.

Usaremos las teorías de flujo establecido cuando el abatimiento ha agotado el almacenamiento del acuífero; entonces el abatimiento ya no será función del tiempo.

Este método que presento es aplicable a un campo de pozos que se pueda considerar un sistema de flujo no establecido; esto es, para un acuífero en que los abatimientos de los pozos aún dependan del tiempo. (Por ejemplo Chiconautla de 1956 a la fecha se ha abatido 20 m y continúa el proceso).

El método que presento es práctico, porque no es necesario para la producción del campo, basta con reducir un poco el gasto y medir recuperaciones.

Me permito hacer notar mi aportación en este trabajo-
que es: La Demostración del Principio y el Programa de Compu-
tadora.

IX. BIBLIOGRAFIA

1. DENNIS E. WILLIAMS. Modern Techniques in ground - Water - studies revista Journal (July 1971) pp. 433-436
Capítulo V y VI
2. MONTEJANO URANGA FRANCISCO. Apuntes ineditos
Capítulo II-b-c y III-a-b-d
3. FAIR, GORDON MASKEW. Geyer, Jhon Charles. Okun Daniel Alexander. Vol. I. Abastecimiento de aguas y remoción de aguas residuales. Cap. 9 y 10.
Capítulo I-a-b
4. JOHNSON DIVISION, UOP INC. El agua Subterranea y los pozos (Cap. 1 y 6).
Capítulo I-a, II-a
5. TINAJERO J. ANTONIO. Apuntes de la clase de Geohidrologia (1977)
Capítulo IV-a-b

QUETZALCOATL

Quetzalcoatl. Fue quizás el más complejo y fascinante de todos los dioses mesoamericanos. Su concepto primordial, sin duda muy antiguo en el área, parece haber sido el de un serpiente serpiente enroscado con funciones dominantes de fertilidad y creatividad. A este núcleo se agregaron gradualmente otras aspectos: la leyenda lo había mezclado con la vida y las hechos del gran rey sacerdote Tlapilteuac, cuyo título sacerdotal era el propio nombre del Dios del que fue un devoto. En el momento de la conquista, Quetzalcoatl, convirtiéndose en Dios único, acompañaba varias funciones: creador, Dios del viento, Dios del planeta Venus, héroe cultural, protector del sacerdocio, patrón del calendario y de las actividades intelectuales en general. Pero su actividad más ímportante era para poder interpretar los hitos aparentemente independientes que ocurren al seguir la trayectoria de la serpiente.



IMPRESIONADO EN UN
QUETZALCOATL, MEXICO, D.F.
FACULTAD DE MEDICINA Y CIRUGIA, INSTITUTO TECNOLÓGICO DE
MEXICO, D.F.